



Institut de XXX

École Doctorale de XXX

Titre de la thèse

THÈSE

présentée et soutenue publiquement le XXX

pour l'obtention du

Doctorat de l'Université XXX

(spécialité XXX)

par

David MIGNON

Composition du jury

Rapporteurs : Dr. Prénom1 NOM1 Rapporteur externe
Dr. Prénom2 NOM2 Rapporteur externe
Pr. Prénom3 NOM3 Rapporteur interne

Examinateurs : Dr. Prénom4 NOM4 Examinateur
Dr. Prénom5 NOM5 Directeur de thèse
Dr. Prénom6 NOM6 Directeur de thèse

Laboratoire de XXX

Remerciements

XXX

à XXX.

Table des matières

Liste des figures	ix
Liste des tables	xi
Abreviations	xiii
Introduction	1
0.1 Section	3
0.1.1 Subsection	3
Subsubsection	3
Paragraph	3
1 Methodes : La theorie	5
1.1 Section	5
2 Les Méthodes utilisées	7
2.1 Section	7
2.1.1 Subsection	7
Subsubsection	7
Paragraph	7
3 Comparaisons d'algorithmes	9
3.1 Les méthodes pratiques	9
3.1.1 les protéines	9
3.1.2 Description des tests	9
Ensemble 'Tout actif'	10
L'ensemble 'Nombre d'actifs limité'	10
le choix des positions actives	11
positions en interactions	11

Table des matières

	11
	Définition de protocole comparable	12
3.1.3	Protocole Heuristique	13
3.1.4	Protocoles Monte-Carlo	13
	Optimisation	14
	Second version de proteus	14
3.1.5	Les protocoles Replica Exchange	15
3.1.6	Les protocoles Toulbar2	16
	Superfamily/SCOP	17
3.1.7	identité par position et par séquence	17
3.1.8	Taux d'identité	17
	Taux d'identité de séquences	17
	Taux d'identité par position	17
3.1.9	Similarité	17
	Alignements Pfam	18
	Score BLOSUM	18
3.1.10	similarité d'un ensemble à une famille Pfam	18
3.1.11	Répartition de l'énergie selon les centiles	19
3.2	Résultats	20
3.2.1	Paramétrage du protocole Monte-Carlo	20
	Température et meilleures énergies	20
	Température et taux d'identité de séquences	20
	Température et résultats Superfamily	21
	Température et entropie	22
	Trajectoire et pourcentage d' identité	22
	Mutations et pourcentage d' identité	23
3.2.2	Comparaison protocole Monte-Carlo contre heuristique	24
	comparaison score de similarités	24
	rapport entre énergies et similarités	32
	Comparisons des distributions selon l'énergie	32
3.2.3	Comparaison avec toutes les positions actives	35
	Distribution des énergies en fonction des températures	37
3.2.4	comparaison sur un espace réduit	40
	Séquence native	40
	Une seule position active	40
	Cinq positions actives	41

Table des matières

Dix positions actives	41
Dix positions actives, mutations	41
Vingt et trente positions actives	41
3.2.5 Les temps de calculs	41
3.2.6 Etude au voisinage de GMECs	41
3.2.7 Résultats Superfamily	56
3.2.8 Résultats Heuristic (protocoles longs)	57
3.2.9 densité en séquences	58
Conclusion	59
Bibliographie	67

Liste des figures

3.1	Similarité par position et par séquence pour 1ABO	25
3.2	Similarité par position et par séquence pour 1CKA	26
3.3	Similarité par position et par séquence pour 1BM2	27
3.4	Similarité par position et par séquence pour 1M61	28
3.5	Similarité par position et par séquence pour 1O4C	29
3.6	Similarité par position et par séquence pour 1G9O	30
3.7	Similarité par position et par séquence pour 1R6J	31
3.8	33
3.9	Distribution des 100000 meilleurs séquences selon l'énergie.	34
3.10	Les différences entre les meilleures énergie de chaque protocoles.	36
3.11	.Les différences entre les meilleures énergie par groupe de protocoles	37
3.12	Distribution des énergies selon la température (1A81 protocole RE8b1).	38
3.13	Variation de la température pendant la trajectoire de chaque marcheur (cas exemple de protocoles).	39
3.14	Temps d'occupation du processeur selon le nombre de positions actives.	41
3.15	test : 1M61 2, GMEC vs H	52
3.16	test : 1M61 2, GMEC vs RE	53
3.17	test : 1G9O 3, GMEC vs H	53
3.18	test : 1G9O 5, GMEC vs MC	54
3.19	test : 1CKA 5, GMEC vs H	54
3.20	test : 1CKA 5, GMEC vs MC	55
3.21	Alignement du voisinage : 1CKA 5	56
3.22	58
3.23	58

Liste des tables

3.1	Les protéines	10
3.2	Les protocoles Heuristique	13
3.3	Les protocoles Monte-Carlo	15
3.4	Les protocoles Replica Exchange	16
3.5	Meilleur énergie selon la température,(^a le protocole mc0, ^b mc1, ^c mc2, ^d mc3, ^e mc4, ^f mc5)	20
3.6	Pourcentage d'identité de séquences selon la température,(^a le protocole mc0, ^b mc1, ^c mc2, ^d mc3, ^e mc4, ^f mc5)	21
3.7	Résultats Superfamily pour les dix mille séquences de meilleur énergie selon la température,(^a le protocole mc0, ^b mc1, ^c mc2, ^d mc3, ^e mc4, ^f mc5)	21
3.8	Alphabet réduit	22
3.9	Moyennes sur les positions des exp(entropies) pour les dix mille séquences de meilleur énergie,(^a le protocole mc0, ^b mc1, ^c mc2, ^d mc3)	23
3.10	Pourcentage d'identité en variant la longueur et le nombre de trajectoires.	23
3.11	Pourcentage d'identité pour deux modes de mutations.	24
3.12	les meilleures énergies pour tous les résidus actifs	36
3.13	L'énergie du GMEC et la différence avec les autres protocoles. Tous les résidus inactifs ()	40
3.14	Liste des échecs pour 1A81	40
3.15	Liste des échecs pour 1BM2	42
3.16	Liste des échecs pour 1CKA	43
3.17	Liste des échecs pour 1M61	43
3.18	Liste des échecs pour 1O4C	44
3.19	Liste des échecs pour 1R6J	45
3.20	Liste des échecs pour 2BYG	45
3.21	Résultats 5 position actives	46
3.22	Résultats 10 positions actives	47

Liste des tables

3.23	Mutations 10 positions actives	48
3.24	Résultats 20 positions actives	49
3.25	Résultats pour 3 fois (resp 9 fois)plus de cycles heuristiques protocole H+ (resp H++)	57
26	Les tests avec cinq positions actives	62
27	Les tests avec dix positions actives	63
28	Les tests avec vingt positions actives	64
29	Les tests avec trente positions actives	65

Abbreviations

H	algorithme heuristique	GMEC	“Global minimal energie cost”
MC	algorithme Monte-Carlo	Pfam	”Protein family databank”
RE	algorithme “Replica Exchange”		

Introduction

XXX

Contexte

0.1 Section

XXX

0.1.1 Subsection

XXX

Subsubsection

XXX

Paragraph XXX

Subparagraph XX

Citation entre crochets [Kofke 2002, 2004a].

Citation dans le texte Name3a et al. [2000].

Chapitre 1

Methodes : La theorie

1.1 Section

Subparagraph

Chapitre 2

Les Méthodes utilisées

2.1 Section

XXX

2.1.1 Subsection

XXX

Subsubsection

XXX

Paragraph XXX

Subparagraph Référence à une équation (Équation 2.1).

$$H\Psi = E\Psi \tag{2.1}$$

Chapitre 3

Comparaisons d'algorithmes

3.1 Les méthodes pratiques

Nous cherchons maintenant à déterminer les performances et les qualités des différents algorithmes de proteus. Pour évaluer les qualités des différents algorithmes de proteus, nous effectuons un ensemble de tests. Plusieurs questions se présentent alors, premièrement grâce à l' algorithme de type toulbar2 il est possible d'obtenir la séquence/conformation qui possède l'énergie de dépliement la plus haute. Cela constitue une information importante qui va nous servir de point de comparaison. Mais le facteur temps pose problème, nous ne savons pas à l'avance quand toulbar2 termine. Et il apparaît d'emblée illusoire d'espérer voir toulbar2 converger dans toutes les situations qui nous intéressent dans un temps raisonnable, en particulier pour une situation où toutes les positions du backbone sont autorisé à muter et pour chaque type d'acide aminé la chaîne latérale peut prendre toutes les positions précédemment calculées dans la matrice.

Dans la suite on appelle position active, une position pour laquelle, lors de la recherche par proteus, tous les types d'acides aminés sont autorisés et tous les rotamères de chaque type d'acide aminé sont autorisés.

3.1.1 les protéines

Les tests sont effectués sur neuf protéines choisies pour avoir des longueurs de backbone variés , plusieurs familles SCOP(?) représentées, mais aussi plusieurs structures pour chaque famille présente. Ainsi l'ensemble se décompose en deux protéines SH3 de 56 et 57 résidus, de trois protéines PDZ de longueur comprise entre 82 et 97 résidus et enfin de trois protéines SH2 longues de 105 ou 109 résidus (Table 3.1).

3.1.2 Description des tests

Les tests sont réparties en deux ensembles :

Chapitre 3. Comparaisons d’algorithmes

Code PDB	résidus	nombre de positions	famille
1ABO	64-119	56	SH3
1CKA	134-190	57	SH3
1R6J	192-273	82	PDZ
1G9O	9-99	91	PDZ
2BYG	186-282	97	PDZ
1BM2	55-152	98	SH2
1O4C	1-105	105	SH2
1M61	4-112	109	SH2
1A81	9-117	109	SH2

Table 3.1 – Les protéines

1. un ensemble de tests où toutes les positions du backbone sont actives (cela correspond aux situations de design complet de protéines)
2. un ensemble de tests où le nombre de positions actives est gardé sous contrôle .De façon à maîtriser la taille de l'espace d'exploration

Ensemble 'Tout actif' Pour le premier ensemble de tests, La totalité de la matrice d'énergie est exploitée et pour chaque position l'espace d'exploration correspond à l'espace d'état déclaré dans le fichier .bb. C'est-à-dire que tous les types de résidu et tout les rotamères sont possibles à chaque position. Comme l'espace des séquences/confirmations à explorer est gigantesque, nous ne faisons pas de tentative de recherche du GMEC par méthode exacte.

Nous effectuons des recherches avec les algorithmes suivants :

- heuristique (noté H par la suite) ;
- Monte-Carlo (noté MC) ;
- “Replica Exchange” (RE) ;

L'ensemble 'Nombre d'actifs limité' L'ensemble “Nombre d'actifs limité” est composé de six groupes de tests avec un nombre de positions actives fixe :

1. aucune position active
2. une position active
3. cinq positions
4. dix positions
5. vingt positions
6. trente positions

3.1. Les méthodes pratiques

Lorsqu'une position n'est pas active, on fixe l'acide aminé de la position en utilisant l'acide aminé de la séquence native.

Le groupe ‘aucune position active’ est constitué d'un test par algorithme pour chaque protéine. Il y a donc neuf tests par algorithme. Ce sont les tests pendant lesquels la séquence d'acides aminés est fixe et correspond à la séquence native de la protéine.

Pour les tests avec une seule position active, comme des temps de calcul le permettent, nous décidons d'être exhaustif : Toutes les positions sont testées, Il y a alors huit cent quatre tests par algorithme. Pour tous les autres groupes de tests (5,10,20 et 30 positions actives) cinq tests sont effectués par protéine, c'est-à-dire quarante-cinq tests par algorithme.

le choix des positions actives Pour définir complètement les tests ,il reste maintenant à décrire comment le choix des positions actives pour les groupes numéro trois à numéro six a été effectué. Il y a peu d'intérêt à tester des situations avec position active sans interaction avec les autres positions actives. En effet s'il existe une position active P dont chaque résidu est sans interaction avec tous les résidus possibles des autres positions actives, déterminer le meilleur état pour P est proche du test du groupe 2 avec P comme position active. Notons qu'en même que cela n'est pas exactement la même question parce que les positions actives différentes de P peuvent influencer la position de la chaîne latérale de positions inactives qui à leur tour peuvent influencer l'état de P. Ainsi le choix des positions actives se fait non pas pas tirage aléatoire, car le risque d'avoir les positions peu en inter action est trop grand. Il se fait sous contrainte d'interaction.

positions en interactions Pour cela nous utilisons la notion de voisinage incluse dans proteus : Deux positions P et Q sont en interaction s'il existe un rotamère r_P de P et un rotamère r_Q de Q tels que :

$$|E(r_P, r_Q)| > S_{Vois}$$

avec S_{Vois} un seuil donné par utilisateur à la configuration de proteus (voir chap. ?? pour les détails).

Définissons maintenant la notion de n-uplet en interaction par la donnée de n positions avec $n \in \{5,10,20,30\}$ et d'un seuil S_{Vois} tels que pour toute paire de positions (P,Q) du n-uplet, P et Q sont en interaction.

Pour déterminer les positions actives,nous exécutons proteus en mode verbeux sans effectué d'optimisation. Il existe plusieurs façons de procéder ,ici nous utilisons le mode Monte-Carlo avec une trajectoire de zéro pas. Ces exécutions produisent en sortie standard la liste des voisins pour chaque position au seuil donnée en paramètre. Pour chaque

Chapitre 3. Comparaisons d’algorithmes

protéine, nous exécutons proteus avec S_{Vois} égal à dix , cinq et un à tour de rôle. Nous obtenons quatre listes de voisins. Ensuite, nous cherchons dans les listes, par un script dédié, les n-uplets en interaction en partant de la liste de voisins au sens le plus fort, c'est-à-dire 10, vers la liste de voisins au sens le plus faible (0.1).La recherche s'arrête si cinq n-uplets sont trouvés.

Nous obtenons quarante cinq n-uplets pour le groupe à cinq (respectivement dix, vingt et trente) positions actives pour un S_{Vois} égale à dix (respectivement dix, un et un) (voir le détails en annexe 3.2.9). Chaque n-uplet nous créons un fichier de configuration de proteus dans lequel la balise <Space_Constraints> fixe les positions restantes au type d’acide aminé présent dans la séquence native.

Définition de protocole comparable

Nous voulons comparer les algorithmes très différents. Un algorithme peut garantir l’obtention du minimum global en énergie (GMEC) s’il termine, mais ne garantit pas qu'il termine, un autre permet un contrôle très fin du temps d’exécution sans garantie du GMEC, et d’autres enfin ont des objectifs plus ambitieux qu’uniquement l’obtention du GMEC. Mais le GMEC reste le meilleur point de commun. Nous allons donc y concentrer les comparaisons.

Nous devons noter également que l’obtention du GMEC est théorique, en pratique nous n’avons pas de preuve que le code de l’algorithme exact que nous utilisons soit sans bogue. Cependant,nous mettons de côté cette éventualité et dans toute la suite GMEC désigne aussi bien le minimum global en énergie que le résultat de toulbar2 lorsqu'il termine.

Le Monte-Carlo et le “Replica exchange” possèdent de nombreux paramètres de configuration, ce qui rend l’ensemble des protocoles possibles très grand. Se pose alors la question de l’optimisation du protocole. L’objectif que nous nous fixons ici,n’est pas de recherche un protocole optimum pour chacun des tests, mais de tester un protocole optimisé par algorithme. Nous allons alors dans un premier temps , recherche les meilleurs protocoles Monte-Carlo et les meilleurs protocoles “Replica Exchange” sur l’ensemble de tests “tout actifs” Puis, sur la base des résultats obtenue, nous ferons l’ensemble des tests à positions actives limitées avec les meilleurs protocoles. Le programme toulbar2 possède aussi de nombreuses options. Deux paramétrages différents seront utilisés.

Pour rendre les protocoles comparables, le temps d’exécution maximum est fixé à vingt-quatre heures, sauf mention contraire. Toulbar2 donne sa meilleure séquence/conformation en dernier, il n’y a donc pas post-traitement nécessaire. C'est également le cas pour le MC à condition de configurer l'impression de la trajectoire avec la balise *Print_Threshold = 0*.

dans le fichier de configuration. Pour le RE et l'Heuristique, un tri des séquences selon l'énergie est nécessaire. Mais il n'y a pas beaucoup de séquences :

1. L' Heuristique fournit une séquence/conformation à chaque cycle.
2. Le RE avec $Print_Threshold = 0$ produit autant de fichiers de séquences/rotamères que de marcheurs. Chacun ne contenant pas plus de quelques dizaines de séquences/rotamères.

Nous pouvons donc négliger la durée du tri dans le temps total d'exécution.

3.1.3 Protocole Heuristique

Pour l'algorithme Heuristique, il n'y a dans notre situation qu'un seul paramètre à renseigner : le nombre de cycles à effectuer. Quelques essais préliminaires sur la plus grosse protéine (Table 3.1) dans le cas où tout actif , montre que la version utilisée de proteus peut effectuer jusqu'à environ 110000 cycles sur nos machines de calculs en l'espace de vingt-quatre heures. Ainsi le protocole H est défini comme le protocole qui utilise le mode heuristique de proteus et qui effectue cent dix mille cycles. Nous définissons également les variantes H- , H+ et H++ comme des protocoles plus courts ou plus longs à facteur entier près (Table 3.2). Par ailleurs certains comparaisons de l'heuristique avec la MC ont été faites avec une version précédente de proteus notons h ce protocole. Il diffère aussi de H par le fait que les options d'optimisation du compilateur Intel -O2 contre -O3 pour H.

Nom	nombre de cycles
H	110000
H-	1100
H+	330000
H++	990000
h	100000

Table 3.2 – Les protocoles Heuristique

3.1.4 Protocoles Monte-Carlo

On distingue deux ensembles de protocoles, Le premier où les noms sont de la forme mc*, rassemble les protocoles utilisés pendant l'optimisation du Monte-Carlo.Le second est constitué du protocole retenue comme optimisé , plus une variante.

Chapitre 3. Comparaisons d'algorithmes

Paramétrage

Les éléments à paramétrer pour l'algorithme Monte-Carlo sont les suivants :

1. la température
2. le nombre de pas (avec le nombre de trajectoires et la longueur de trajectoire)
3. Le seuil de voisinage
4. Les probabilités de changements de la séquences/rotamère

Ce qui représente un ensemble de protocoles trop grand pour une approche exhaustive.

Nous allons faire varier les paramètres un par un.

La température est le paramètre principale du Monte-carlo, c'est lui qui contrôle le taux d'acceptation du critère de Metropolis. Alors la première étape de cette optimisation va consisté à faire variés la température , entre 0.001 et 0.5 , en conservant les autres paramètres fixés (protocoles de mc0 à mc5). Le nombre de pas total effectué est le produit de deux paramètres, le nombre de trajectoires et la longueur de trajectoire. les protocoles mc1b et mc2b testent l'effet d'une augmentation du nombre de pas. Tandis que mc2d teste l'effet de variation du rapport nombre de trajectoire sur la longueur. Le protocole mc2e s'intéresse aux probabilités de changement de la trajectoire. Il y a cinq balises dans proteus qui contrôle ces changements :

<Prot> donne la probabilités de modifications de rotamère à une postions.

<Prot_Prot> donne la probabilités de modifications de rotamère à deux positions.

<Mut> donne la probabilités de modifications de type de résidu à une position.

<Mut_Prot> donne la probabilités de modifications de rotamères à deux positions.

<Mut_Mut> donne la probabilités de modifications de type de résidu à deux positions.

La table 3.3 donne les probabilités utilisées par ces cinq paramètres dans l'ordre de la liste précédente.

Enfin mc4b se distingue des autres par un seuil de voisinage plus grand ((Table 3.3)).

Second version de proteus Pour l'étape suivante, qui consiste à la comparaison avec les autres algorithmes, deux protocoles sont utilisés MCa et MCb ils s'inspirent fortement de mc2d et mc2e , en étant adapté à la contrainte du temps de calculs de la comparaison d'algorithmes et un utilisant la nouvelle version de proteus (les lettres capitales dans le nom des protocoles signifie l'utilisation de la dernière version de proteus,ceci dans toute la suite).

3.1. Les méthodes pratiques

Nom	Temp	Long. de trajectoire(mega)	Nb de trajectoires	Voisin	Proba
mc0	0.001	3	1000	10	0 ; 1 ; 0.1 ; 0 ;0
mc1	0.1	3	1000	10	0 ; 1 ; 0.1 ; 0 ;0
mc2	0.2	3	1000	10	0 ; 1 ; 0.1 ; 0 ;0
mc3	0.3	3	1000	10	0 ; 1 ; 0.1 ; 0 ;0
mc4	0.5	3	1000	10	0 ; 1 ; 0.1 ; 0 ;0
mc5	0.7	3	1000	10	0 ; 1 ; 0.1 ; 0 ;0
mc1b	0.1	6	1000	10	1 ; 1 ; 1 ; 1 ;0
mc2b	0.2	6	1000	10	0 ; 1 ; 0.1 ; 0 ;0
mc2c	0.2	3	10000	10	0 ; 1 ; 0.1 ; 0 ;0
mc2d	0.2	3000	1	10	0 ; 1 ; 0.1 ; 0 ;0
mc2e	0.2	3	1000	10	1 ; 0 ; 0.1 ; 0 ;0
mc4b	0.5	10	100	10	0 ; 1 ; 0 ; 1 ;0
MCa	0.2	6000	1	10	1 ; 0 ; 0.1 ; 0 ;0
MCb	0.2	6000	1	10	0 ; 1 ; 0.1 ; 0 ;0

Table 3.3 – Les protocoles Monte-Carlo

3.1.5 Les protocoles Replica Exchange

L'algorithme “Replica Exchange” (RE) est une extension du Monte-Carlo , Les paramètres d'un protocole RE sont ceux d'un protocole Monte-Carlo plus d'autres paramètres :

- le nombre de marcheurs
- la température pour chaque marcheur
- la période de “swap”, c'est-à-dire la période (en nombre de pas) à laquelle le test de Hasting sur l'échange de température et éventuellement l'échange ,sont effectués.

Pour avoir des exécutions en parallèle sans plusieurs marcheurs par cœur du processeur, nous limiter nos tests à quatre ou huit marcheurs. La distribution des températures est un éléments déterminant dans le comportement des marcheurs, car c'est elle qui pilote en grande partie le taux d'acceptation des échanges de températures. Nous suivant l'idée proposée par Kofke de lui faire suivre une progression géométrique ($\frac{T_i}{T_{i+1}} = C$, avec C une constante) [Kofke 2002, 2004a,b]. Ceci garantie alors que le taux d'acceptation d'échange entre T_i et T_{i+1} soit égale pour tout nos i.De plus nous souhaitons centrer à peu près, nos distributions sur la température ambiante.

Voici les températures pour le RE quatre marcheurs :

- 10, 1, 0.1 et 0.01
- 2, 1, 0.5 et 0.25
- 1, 0.5, 0.25 et 0.125

,et celles pour le RE huit marcheurs :

Chapitre 3. Comparaisons d’algorithmes

- 3 , 2 , 1.333 , 0.888 , 0.592 , 0.395 , 0.263 et 0.175
- 10 , 3.16 , 1 , 0.316 , 0.1 , 0.0316 , 0.01 et 0.00316

Ici les protocoles ne se font qu’avec une seule trajectoire par marcheur. Et la contrainte du temps de calculs se comprends comme vingt-quatre heures de calculs cumulées sur tous les marcheurs. Ainsi les longueurs de trajectoire sont définit pour le RE quatre marcheurs comme le quart d’une trajectoire MC, pour le RE huit marcheurs comme le huitième.

La table 3.4 donne les probabilités utilisées par les cinq balises qui contrôlent les modifications de la séquence/conformation à chaque pas, dans l’ordre de la liste de la section 3.1.4.

Nom	marcheurs	Temp	Traj (mega)	seuil voisin	Proba	swap period (mega)
RE4a	4	10<->0.01	1500	10	1 ; 0 ; 0.1 ; 0 ; 0	7.5
RE4b	4	1<->0.125	1500	10	1 ; 0 ; 0.1 ; 0 ; 0	7.5
RE4c	4	2<->0.25	1500	10	1 ; 0 ; 0.1 ; 0 ; 0	7.5
RE8a1	8	10<->0.00316	750	0	1 ; 0 ; 0.1 ; 0 ; 0	2.5
RE8a2	8	10<->0.00316	750	10	1 ; 0 ; 0.1 ; 0 ; 0	2.5
RE8b1	8	3<->0.175	750	10	0 ; 1 ; 0.1 ; 0 ; 0	7.5
RE8b2	8	3<->0.175	750	10	1 ; 0 ; 0.1 ; 0 ; 0	7.5
RE8b3	8	3<->0.175	750	10	1 ; 0 ; 0.1 ; 0 ; 0	1

Table 3.4 – Les protocoles Replica Exchange

3.1.6 Les protocoles Toulbar2

Après avoir convertit nos matrices au format wcsp grâce à un script dédié,nous pouvons utiliser toulbar2. Le protocole toulbar2 de recherche du GMEC est le suivant : Le binaire toulbar2 de version 0.9.7.0 est lancé avec les options -l=3 -m -d : -s, ce qui correspond au paramétrage conseillé dans la documentation CDP [Traoré et al. 2013 ; ?]. Si au bout de vingt-quatre heures l’exécution est terminée, le protocole est achevé. Sinon le programme est arrêté et une seconde version (la 0.9.6.0) est lancé avec les options -l=1 -dee=1 -m -d : -s. Au bout de vingt-quatre heures si le programme n’est pas terminée, il est arrêté. La dernière séquence/conformation imprimer en sortie est collectée. Le choix de la seconde version et du paramétrage fait suite à une discussion avec monsieur Seydou Traoré.

Toulbar2 est également capable de fournir la listes des séquences/conformations dont l’énergie est comprise entre celle du GMEC, E_{GMEC} et une autre E_{upper_bound} donnée en paramètre. Pour cette fonctionnalité nous utilisons le paramétrage : -d : -a -s -ub= E_{upper_bound} .

Superfamily/SCOP

Superfamily est un ensemble avec d'une base de données composée de modèle de Markov cachés [J. et al. 2001]

- Une base de données de modèles de Markov cachés, où chaque modèle représente une structure 3D d'un domaine de la classification SCOP.
- une série de script qui annote une séquence de protéine donnée en entrée à partir des informations de la base. Ici nous utilisons uniquement l'association au modèle 3D le plus vraisemblable.

Nous travaillons avec la base de données à la version 1.75, et en conjonction, nous utilisons SAM (version 3.5) [R. and A. 1996] et HMMER (version 3.0) [SR. 1998] recommandée par l'équipe de Superfamily. Le paramétrage utilisé est celui par défaut.

3.1.7 identité par position et par séquence

3.1.8 Taux d'identité

Taux d'identité de séquences

Soient S et N deux séquences d'acides aminés de même longueur l.

Le Taux d'identité $Id(S,N)$ de S par rapport N est égal au pourcentage de position où l'acide aminé est identique dans S et N. C'est-à-dire

$$Id(S,N) = \frac{\sum_{1 < i < l} \mathbb{1}(s_i, n_i)}{l} \times 100$$

avec s_i et n_i l'acide animé en i de S et de N respectivement, et $\mathbb{1}(x,y)$ la fonction qui vaut 1 lorsque $x=y$ et 0 sinon.

Taux d'identité par position

Nous définissons également un taux d'identité d'un alignement A_S à la position i par rapport à une séquence N de même longueur comme :

$$Id(A_S, i) = \frac{\sum_{1 < j < m} \mathbb{1}(s_i^j, n_i)}{m} \times 100, \text{ avec } m \text{ le nombre de séquences de } A_S.$$

3.1.9 Similarité

Les taux d'identités qui viennent d'être présentés nous permettre de mesurer une ressemblance d'un séquence ou d'un ensemble de nos séquences produites par rapport à la séquence native. Mais cela n'est pas notre principale objectif. Et nous devons évaluer nos séquences par rapport à l'ensemble des séquences du domaine protéique de la séquence native.

Alignements Pfam

La base de données Pfam (Protein families database) [R.D. et al. 2014] regroupe les domaines protéiques connus en famille. Chaque famille étant représentées des alignements multiples de séquences et des profiles de modèles de Markov cachés [R.D. et al. 2014]. Dans la suite nous n'utiliserons l'alignement dit “seed” qui ne contient qu'un petit ensemble de membres représentatifs de famille et l'alignement “full” qui est généré par modèle de Markov caché à partir de l'alignement “seed”. Les alignements correspondent pour nous aux familles PF00017 (domaine SH2), PF00018 (domaine SH3) et PF00595 (domaine PDZ).

Score BLOSUM

Pour tenir compte des ressemblances et des différences entre les acides aminés lors d'une substitution, nous avons besoin d'une matrice de coût. Nous utilisons la matrice BLOSUM62 (BLOcks SUbstitution Matrix) [J. 1992] qui est construite à partir de blocs l'alignement très conservées (ici plus de 62% d'identités). Les fréquences des mutations y sont calculées. Le score BLOSUM d'une substitution est alors le logarithme de la fréquence de la mutation correspondante. À cela est ajouté un score de pénalités pour l'insertion d'un gap (c'est-à-dire un saut dans l'alignement).

On définit alors simplement un score de similarité de deux séquences de même longueur comme la somme des scores BLOSUM62 sur toutes les positions. De même le score de similarité d'un alignement par rapport à une séquence sera défini comme la moyenne des scores de similarité sur ensemble des séquences de l'alignement. Et enfin une score de similarité de deux ensembles de séquences alignés entre eux comme la moyenne des scores de similarité du premier ensemble par rapport aux séquences du second.

3.1.10 similarité d'un ensemble à une famille Pfam

Afin de calculer un score de similarité d'un ensemble de nos séquences par rapport à une famille Pfam, il faut commencer par aligner nos séquences avec l'alignement de la famille. Pour cela nous utilisons le programme d'alignement BLAST [Altschul S.]. Il implémente une heuristique qui recherche puis étend les meilleurs alignement locaux. Nous procédons comme suit :

1. La commande blastpgp est utilisée avec comme database (paramètre -d) l'alignement Pfam et comme séquence en entrée (paramètre -i) la séquence native.
2. Dans la sortie blast, la séquence qui produit l'alignement le plus significatif avec la native est collectée, notons la S_0 .

3. L'alignement blast est alors utilisé pour positionner la native par rapport à S_0 et les gaps nécessaires pour aligner la native à S_0 sont ajoutés.
4. Le positionnement et les gaps sont alors appliqués tels quels à la liste de nos séquences.

3.1.11 Répartition de l'énergie selon les centiles

Pour comparer différentes distributions d'ensemble de séquences/conformations selon l'énergie, nous déterminons les centiles de la façon suivante :

1. l'ensemble de séquences/conformations est trié selon l'énergie.
2. L'intervalle entre la meilleure énergie et la moins bonne est divisé en cent intervalles consécutifs contenant le même nombre de séquences/conformations (un centième du cardinal de l'ensemble).
3. les quatre-vingts dix neufs valeurs d'énergie obtenues par ce découpage sont les centiles.

3.2 Résultats

3.2.1 Paramétrage du protocole Monte-Carlo

Le choix des paramètres du protocole Monte-Carlo est décidé sur des tests sur les sept protéines avec toutes les positions actives.

Température et meilleures énergies

Nous utilisons les protocoles de mc0 à mc5, voir table 3.5 pour évaluer d’effet du paramètre température dans la recherche de séquences/rotamères de meilleures énergies. La table ?? présente les résultats obtenus arrondis à la Kcal/mol inférieure. L’énergie proteus est l’énergie de dépliement c’est-à-dire l’énergie qu’il faut fournir à la protéine pour la déplier. Donc les meilleurs dans la table (et dans toutes les autres tables) sont les énergies les plus grandes. Les tests aux températures les plus froides (0.001 et 0.1) donnent les meilleurs résultats pour la majorité des protéines. Cependant la dégradation des performances est lente avec l’augmentation des températures. Et les résultats pour les températures intermédiaires (0.2 et 0.3) sont souvent très proches des meilleurs résultats.

test	0.001 ^a	0.1 ^b	0.2 ^c	0.3 ^d	0.5 ^e	0.7 ^f
1ABO	-270	-270	-270	-271	-281	-289
1CKA	-251	-247	-252	-252	-261	-267
1BM2	-482	-486	-483	-486	-516	-541
1M61	-480	-481	-483	-485	-506	-523
1O4C	-532	-527	-533	-536	-563	-590
1G9O	-423	-425	-426	-432	-450	-462
1R6J	-411	-411	-412	-417	-435	-449

Table 3.5 – Meilleur énergie selon la température, (^a le protocole mc0, ^b mc1, ^c mc2, ^d mc3, ^e mc4, ^f mc5)

Température et taux d’identité de séquences

Nous poursuivons la comparaison des protocoles mc0-mc5 en regardant le taux d’identité entre les séquences d’acides aminés et la séquence native. Pour cela, nous reprenons les séquences/conformations obtenues et triées selon l’énergie décroissante. Nous sélectionnons dans cette liste, les dix mille premières séquences pour chaque test. Les résultats sont présentés table 3.6. Nous obtenons des taux d’identités globalement compris entre 20 et 40%, avec le plus suivant des valeurs proches de 30%. Les résultats à température 0.2 et

3.2. Résultats

0.3, sont aussi bon que ceux à température 0.1 et légèrement meilleurs que pour 0.001. Ici aussi il y a une dégradation aux température les plus hautes, faible à 0.5, plus nette à 0.7.

test	0.001 ^a	0.1 ^b	0.2 ^c	0.3 ^d	0.5 ^e	0.7 ^f
1ABO	33	33	33	32	32	30
1CKA	26	27	27	27	26	26
1BM2	26	27	27	28	25	23
1M61	40	41	41	41	41	39
1O4C	21	21	21	21	20	19
1G9O	35	35	36	37	36	33
1R6J	33	33	32	32	31	29

Table 3.6 – Pourcentage d'identité de séquences selon la température,(^a le protocole mc0,^b mc1,^c mc2,^d mc3,^e mc4,^f mc5)

Température et résultats Superfamily

Nous évaluons maintenant, la similarité que peuvent avoir nos séquences putatives avec la structure 3D du domaine de la protéine. Nous lancer Superfamily sur chaque ensemble de dix milles séquences (voir 3.2.1). Le tableau 3.7 présente le nombre de séquences attribuées au domaine de la séquence native par cet outil. Les résultats sont bons, sauf pour les températures les plus chaudes, la grande majorité des séquences sont attribuées au domaine natif respectif (les domaines sur en Table 3.1).Ici, les deux températures intermédiaires font quasiment jeu égal avec les deux températures les plus froides.

Protéine	0.001 ^a	0.1 ^b	0.2 ^c	0.3 ^d	0.5 ^e	0.7 ^f
1ABO	7382	8374	6764	5033	2576	1255
1CKA	8045	8497	9139	9534	8060	2490
1BM2	8073	8002	6861	7869	4458	2821
1M61	9489	9662	9825	9777	9822	8744
1O4C	7124	7702	6909	7849	7623	4847
1G9O	10000	10000	10000	10000	10000	9942
1R6J	9878	9871	9796	8794	5387	3787

Table 3.7 – Résultats Superfamily pour les dix mille séquences de meilleur énergie selon la température,(^a le protocole mc0,^b mc1,^c mc2,^d mc3,^e mc4,^f mc5)

Température et entropie

Il apparaît assez clairement, de part le principe du test de metropolis-Hasting, que le Monte-Carlo à basse température explore une partie de l'espace plus petite qu'au haute température. Il est alors légitime de mesurer cet effet sur les ensembles de dix milles séquences obtenues. Nous utilisons un alphabet A (voir table 3.8) réduit à six classes d'acides aminés comme proposée dans [Launay G. 2007] qui permet de se focaliser sur les différences physico-chimiques des acides aminés.

L'entropie par position H_i est alors définit de la façon suivante. Pour i une position dans la séquence, notons $f_i(a)$ la fréquence en i, de la lettre a de l'alphabet A . Alors $H_i = - \sum_{a \in A} f_i(a) * \log(f_i(a))$

Puis, nous calculons la moyenne sur les postions des $\exp(H_i)$ pour nos tests. Les résultats sont sur le tableau 3.9.

acide aminé	alphabet	acide aminé	alphabet
L	1	S	4
V	1	T	4
I	1	P	4
M	1	E	5
C	1	D	5
F	2	N	5
Y	2	Q	5
W	2	K	6
G	3	R	6
A	4	H	6

Table 3.8 – Alphabet réduit

Nous observons la diminution systématique de l'entropie avec celle de la température. Cela représente une moindre diversité dans les séquences obtenues pour les températures des plus froides.

Trajectoire et pourcentage d’ identité

Le nombre de pas effectués dans les protocoles Monte-Carlo est le produit du nombre de trajectoires par le longueur de trajectoire. Nous comparons le pourcentage d'identité de séquences par rapport à la séquence native pour des protocoles ne variant que par le nombre de trajectoires ou la longueur de la trajectoire. Deux ensembles sont traités, mc1 et mc1b (mc1 mais avec des trajectoires deux fois plus grandes) d'une part et mc2, mc2b , mc2c et mc2d d'autre part, avec mc2b ayant des trajectoire deux fois plus

Protéine	0.001 ^a	0.1 ^b	0.2 ^c	0.3 ^d
1ABO	1.68	1.80	1.84	2.14
1CKA	1.85	2.06	2.09	2.13
1BM2	1.88	1.94	1.96	2.11
1M61	1.53	1.60	1.62	1.79
1O4C	2.18	2.21	2.23	2.3
1G9O	1.64	1.68	1.84	2.07
1R6J	1.75	1.79	1.94	2.20

Table 3.9 – Moyennes sur les positions des exp(entropies) pour les dix mille séquences de meilleur énergie,(^a le protocole mc0,^b mc1,^c mc2,^d mc3)

grandes de mc2, mc2c dix fois plus de trajectoire que mc2 et le même nombre de pas mais une seule trajectoire pour mc2d par rapport mc2. Les résultats sont visibles à la table 3.10.L'effet du doublement de la longueur de la trajectoire existe mais est très faible. De même l'augmentation du nombre de trajectoires, pourtant drastique, n'apporte quasiment rien. Élément intéressant, à nombre de pas identique, il n'y pas de différence notable entre le protocole mille trajectoires et celui à une seule.

Protéine	mc1	mc1b	mc2	mc2b	mc2c	mc2d
1ABO	33	33	33	33	33	33
1CKA	24	25	25	26	25	25
1BM2	26	27	27	27	27	27
1M61	40	40	41	42	41	41
1O4C	21	21	21	21	21	21
1G9O	35	35	36	36	36	36
1R6J	33	33	32	32	33	33

Table 3.10 – Pourcentage d'identité en variant la longueur et le nombre de trajectoires.

Mutations et pourcentage d' identité

Jusqu'à présent nous avons utilisé le même mode de modification de la séquence/conformation entre chaque pas Monte-Carlo pour tous les protocoles. Il s'agit du mode qui utilise les balises <Prot_Prot> avec une valeur à 1 et <Mut> avec une valeur à 0.1. Cela veut dire qu'à chaque pas deux rotamères sont modifiés sans changement du type de résidu et qu'une troisième position change d'acide aminé avec une probabilité de 0.1. Nous allons comparer ce mode de modification (avec les protocoles mc1 et mc2) avec un mode où seulement le rotamère est changé à une position sans changement de type et une seconde position

Chapitre 3. Comparaisons d’algorithmes

change d’acide aminé la même probabilité que précédemment, 0.1 (avec les protocoles mc1b et mc2e). Les résultats sont visibles à la table ((Table 3.11)). Nous voyons que le en ce qui concerne le premier couple de protocole, il n’y a un déclin pour tous les tests. Pour le second il y a également une dégradation des performances globales mais elle n’est pas systématique. Il y a même une amélioration pour la protéine 1R6J.

Protéine	mc1	mc1b	mc2	mc2e
1ABO	33	30	33	32
1CKA	27	24	27	26
1BM2	27	22	27	27
1M61	41	35	41	41
1O4C	21	18	21	20
1G9O	35	31	36	29
1R6J	33	27	32	33

Table 3.11 – Pourcentage d’identité pour deux modes de mutations.

3.2.2 Comparaison protocole Monte-Carlo contre heuristique comparaison score de similarités

Nous examinons maintenant plus en détail les résultats de trois protocoles : h, mc2 et mc3. Tout d’abord nous calculons le score de similarité par position et par séquence de nos dix mille meilleures séquences d’acide aminés par rapport aux alignements Pfam « seed » et « full ». Pour avoir un point de comparaisons les scores séquence native contre pfam « seed » et « full » sont aussi représentés. Les résultats sont présentés sous forme de graphiques, une page par protéine. Pour chaque protocole, deux graphiques à gauche représentent les similarités par position par rapport à l’alignement pfam « seed » et respectivement pfam « full ». Un troisième graphique représente les similarités par séquence. Pour plusieurs protéines les scores de similarités par séquence des séquences putatives sont nettement inférieurs que ceux de la native. Cependant les écarts sont relativement bien repartie selon les positions voir graphiques à gauche, ce qui donne en réalité des scores à chaque position assez comparables entre la native et les putatives en particulier pour 1G9O 1R6J 1M61,et 1CKA. Ces écarts sont plus importants pour 1ABO 1BM2 et 1O4C. On peut noter que pour 1G9O la séquence native n’est pas très similaire à l’alignement « seed » et qu’il y a des séquences putatives meilleures que la native sur ce plan. Ces résultats ne révèle pas de différence notable entre les trois protocoles.

3.2. Résultats



Figure 3.1 – Similarité par position et par séquence pour 1ABO

Chapitre 3. Comparaisons d'algorithmes

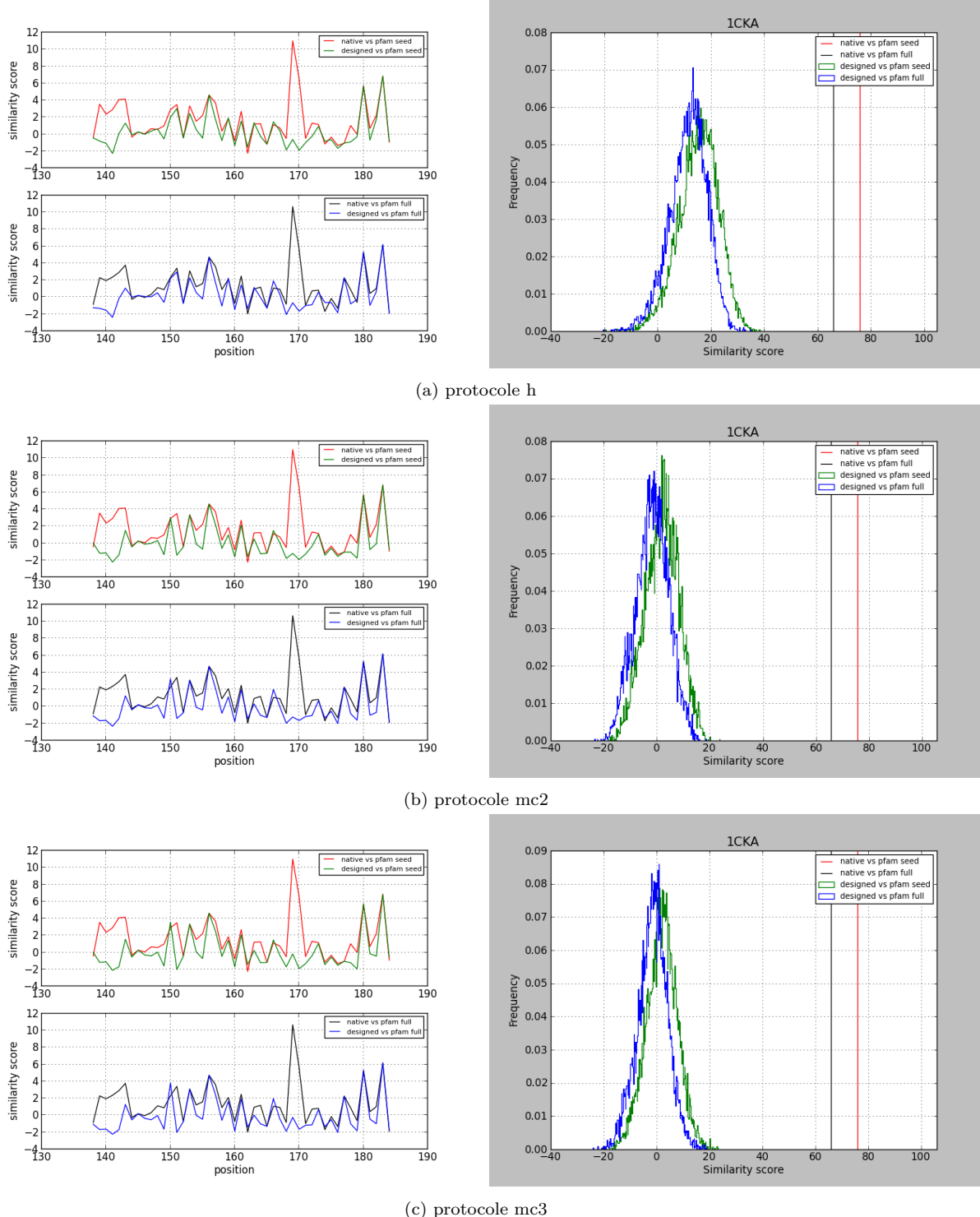


Figure 3.2 – Similarité par position et par séquence pour 1CKA

3.2. Résultats

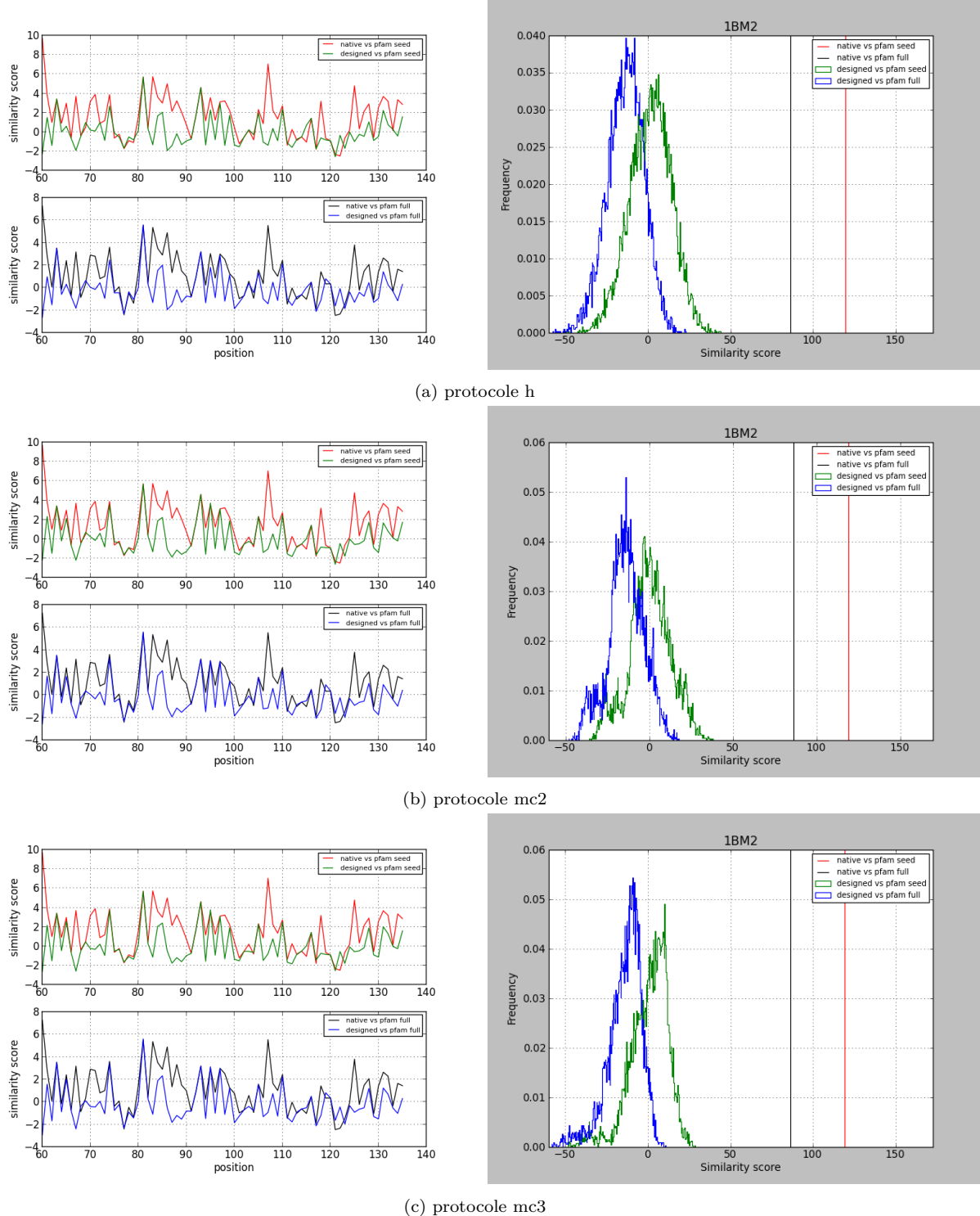


Figure 3.3 – Similarité par position et par séquence pour 1BM2

Chapitre 3. Comparaisons d'algorithmes



Figure 3.4 – Similarité par position et par séquence pour 1M61

3.2. Résultats



Figure 3.5 – Similarité par position et par séquence pour 1O4C

Chapitre 3. Comparaisons d'algorithmes

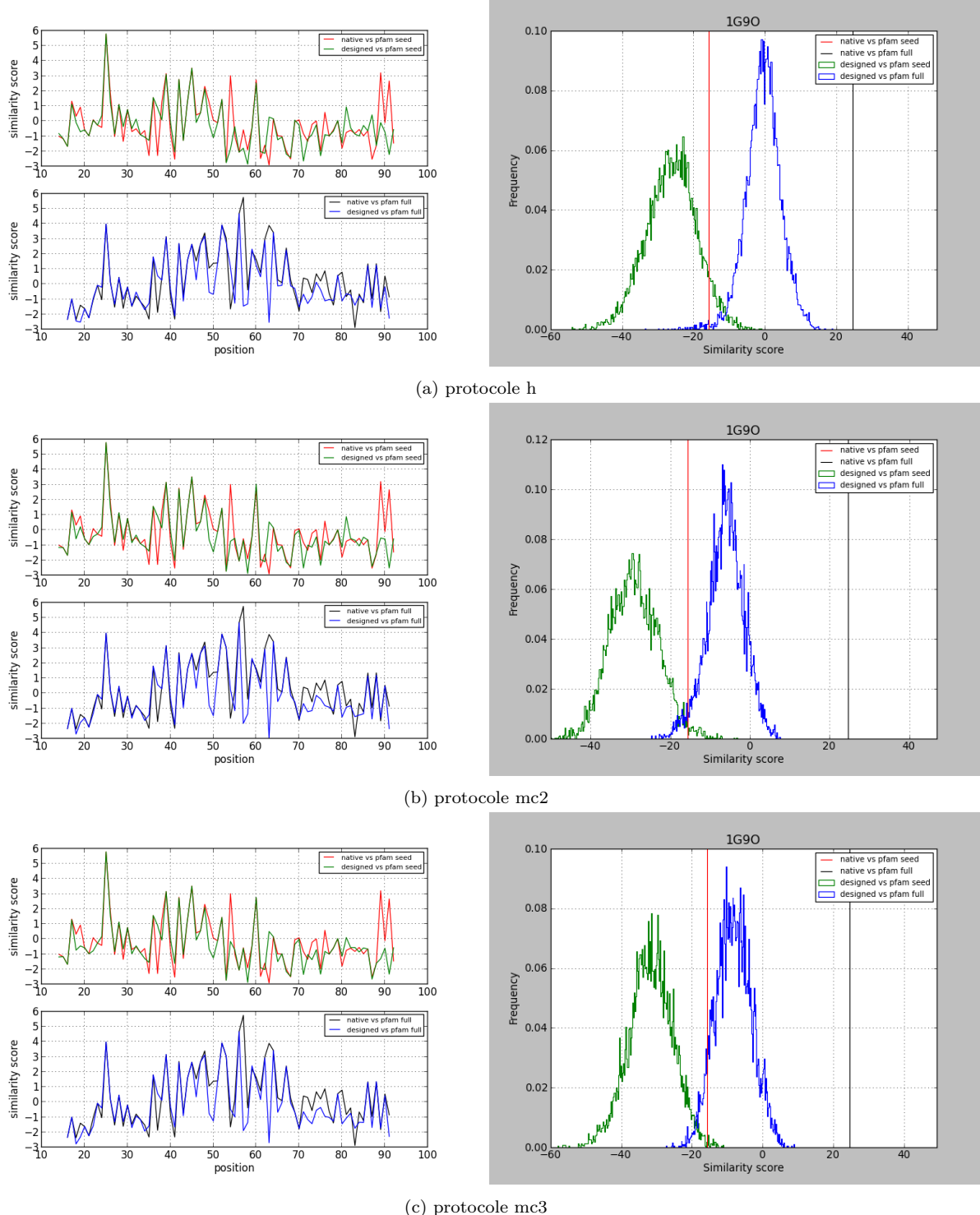


Figure 3.6 – Similarité par position et par séquence pour 1G9O

3.2. Résultats

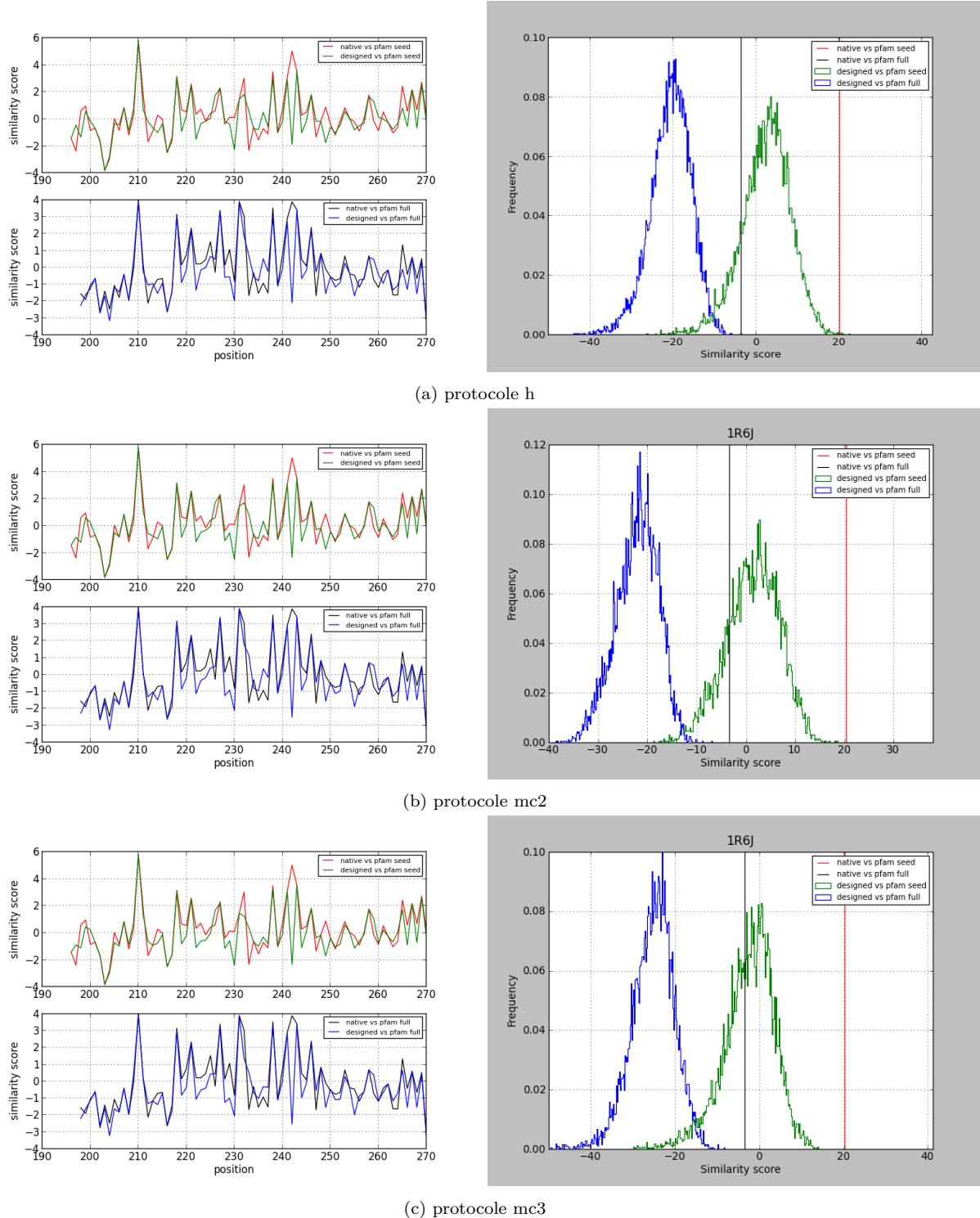


Figure 3.7 – Similarité par position et par séquence pour 1R6J

rappor entre énergies et similarités

Pour faire le lien entre les comparaisons basées sur les meilleures énergies et les comparaisons basées sur les scores de similarités, nous représentons les énergies des dix milles meilleures séquences en fonction de leur similarité à l'alignement Pfam « seed ». Comme une séquence peut apparaître plusieurs fois dans l'ensemble des séquences/conformations obtenus toutes les énergies trouvées de la séquence sont représentées voir les graphiques 3.8. La corrélation entre les deux critères semble très faible.Pour 1CKA malgré des énergies pour l'heuristique moins bonnes, la similarité est meilleur.Bien que les énergies obtenues avec le protocole mc2 soient meilleurs que celles avec le protocole mc3, il n'y a pas de différences significatives sur les scores de similarités obtenus.

Comparaisons des distributions selon l'énergie

Ici nous nous intéressons aux ensembles de cent mille séquences/conformations de meilleures énergies.Nous calculons les centiles d'énergie pour chaque protéine et pour chacun des trois protocoles h , mc2, mc3.

Les figures ?? représentent la répartition des énergies selon les centiles, ceci pour les trois protocoles h, mc2, mc3. Pour le premier centile (c'est-à-dire l'énergie au dessus de la quelle il y a les milles meilleures séquences/conformations) le protocole mc2 domine sauf pour la protéine 1R6J où h est meilleur jusqu'au vingtième centile .Pour 1ABO, alors que mc2 et mc3 font quasiment jeu égal pour la meilleure énergie, le premier centile de mc2 est nettement plus haut que celui de mc3.Mais en général, L'allure des courtes des deux protolcoles Monte-carlo est très proche et les écarts entre les meilleures énergies de mc2 et mc3 sont globalement conservés le long des centiles.Ce n'est pas le cas entre h et les protocoles Monte-Carlo, où l'on voit un déclin plus rapide le long des centiles.Ce qui montre une densité plus faible des séquences/conformations de bonne énergie pour l'heuristique.

3.2. Résultats

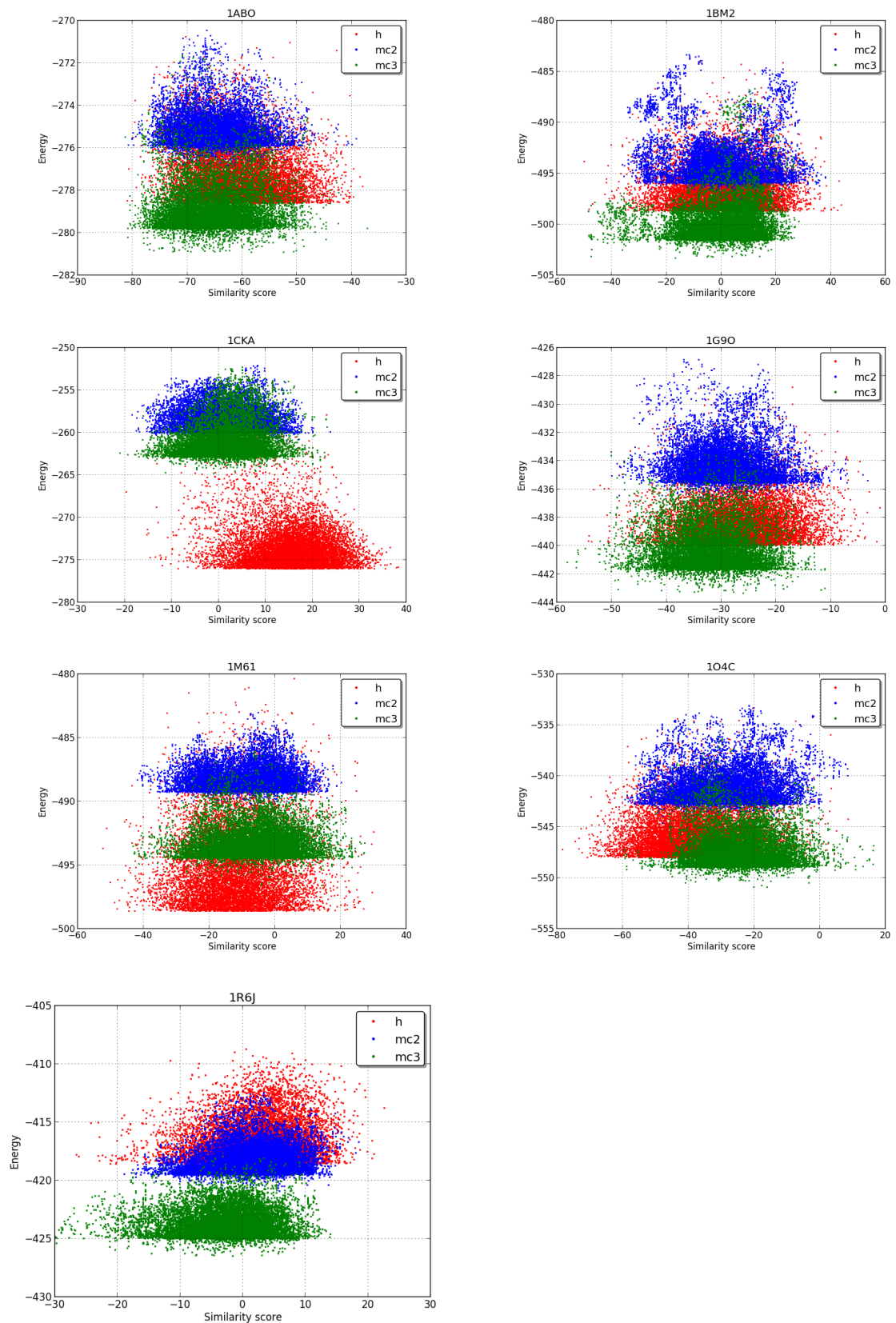
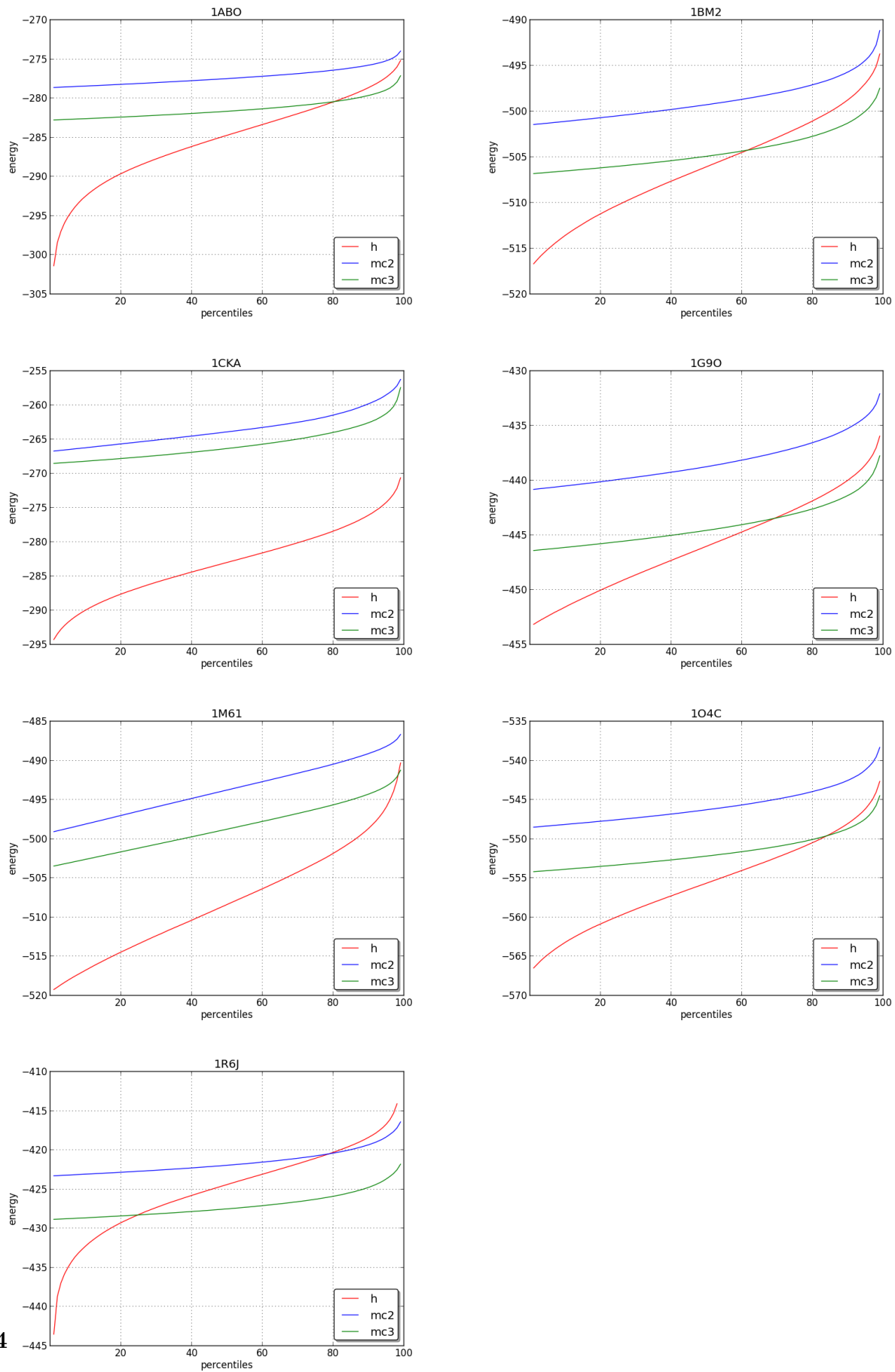


Figure 3.8



3.2.3 Comparaison avec toutes les positions actives

Passons maintenant, aux résultats obtenus avec la seconde version de proteus ?? . Cette version intègre notamment l'algorithme « Replica Exchange ». Nous pouvons donc faire des comparaisons entre les trois algorithmes du programme. Tous les protocoles utilisés sont décrits dans les tableaux 3.3 ou 3.4. Commençons par la recherche de la séquence/conformation de meilleur énergie pour toutes les positions actives. Les tests sont décrits au paragraphe 3.1.2. Les résultats sont présentés sous forme de tableau en 3.12 qui contient la meilleure énergie arrondie à la kcal/mol inférieure et aussi sous forme de graphique en 3.10 où sont représentées les différences par rapport à la meilleure énergie pour tous les cas.

I Il n'y pas de protocoles qui domine les autres sur toutes les protéines. Le meilleur résultat est obtenu avec le protocole huit marcheurs RE8b2 pour 2BYG , 1BM2, 1O4C et 1A81, le protocole RE8b1 pour 1CKA et 1ABO, le protocole quatre marcheurs RE4b pour 1G9O , les protocoles mono-marcheur MCb pour 1M61 et H pour 1R6J. Ces résultats sont également représentés sous forme de trois graphiques qui regroupent les protocoles utilisant les protocoles non parallèles, les protocoles quatre marcheurs et les protocoles huit marcheurs. Un quatrième graphique regroupe le meilleur protocole de chaque algorithme. Là encore seul les différences par rapport au meilleur protocole sont représentées. Le protocole H fait jeu égal avec le meilleur protocole Monte-Carlo. Le second Monte-Carlo , qui utilise en mode de mutation moins agressif 3.1.4, est nettement plus mauvais avec presque toujours des écarts de plus de cinq Kcal/mol avec les deux autres protocoles non parallèle. Pour le groupe de protocoles avec quatre marcheurs le RE4b , qui se différencie des deux autres par une plage de températures la plus resserrée , est meilleur pour cinq des sept protéines mais pour les deux protéines restantes la différence se limite à deux Kcal/mol. RE4a, le protocole avec la plage de température la large est moins bon que les autres. En ce qui concerne les protocoles huit marcheurs , deux d'entre-eux se démarquent RE8b1 et RE8b2 (plage de température resserré, grande période de swap et mode de mutation agressif pour le premier , plus conservateur pour le second). RE8b1 obtient des résultats assez irrégulier selon les protéines du meilleur pour 1CKA et 1ABO jusqu'à s'écarte de près de huit Kcal/mol de la plus haute énergie. RE8b2, soit donne les meilleurs résultats (dans cinquante pourcent des cas), soit s'écarte d'au plus quatre Kcal/mol des meilleurs résultats.

Protéine	H	MCa	MCb	RE4a	RE4b	RE4c	RE8a1	RE8a2	RE8b1	RE8b2	RE8b3
1A81	-521	-538	-522	-525	-520	-518	-520	-520	-514	-512	-512
1ABO	-272	-274	-268	-273	-269	-272	-273	-273	-268	-271	-271
1BM2	-484	-500	-486	-488	-481	-486	-489	-489	-478	-476	-480
1CKA	-252	-258	-249	-259	-251	-249	-251	-251	-247	-248	-252
1G9O	-428	-435	-428	-429	-421	-428	-430	-430	-428	-425	-426
1M61	-480	-493	-479	-483	-480	-480	-481	-481	-480	-480	-480
1O4C	-535	-545	-531	-536	-529	-532	-536	-536	-527	-524	-525
1R6J	-407	-419	-414	-415	-409	-414	-411	-411	-409	-408	-409
2BYG	-457	-469	-454	-461	-456	-462	-460	-460	-456	-454	-454

Table 3.12 – les meilleures énergies pour tous les résidus actifs

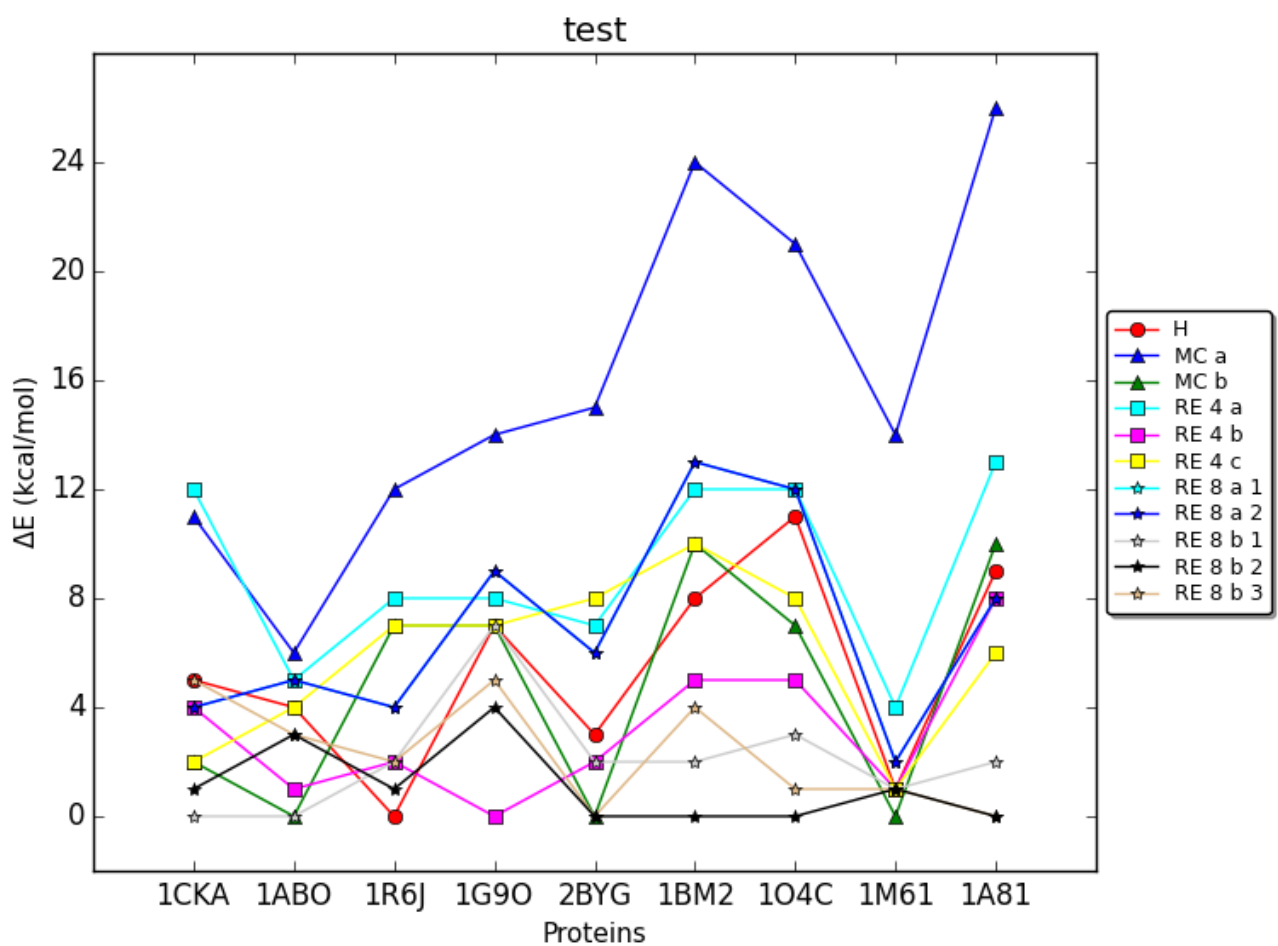


Figure 3.10 – Les différences entre les meilleures énergie de chaque protocoles.

3.2. Résultats

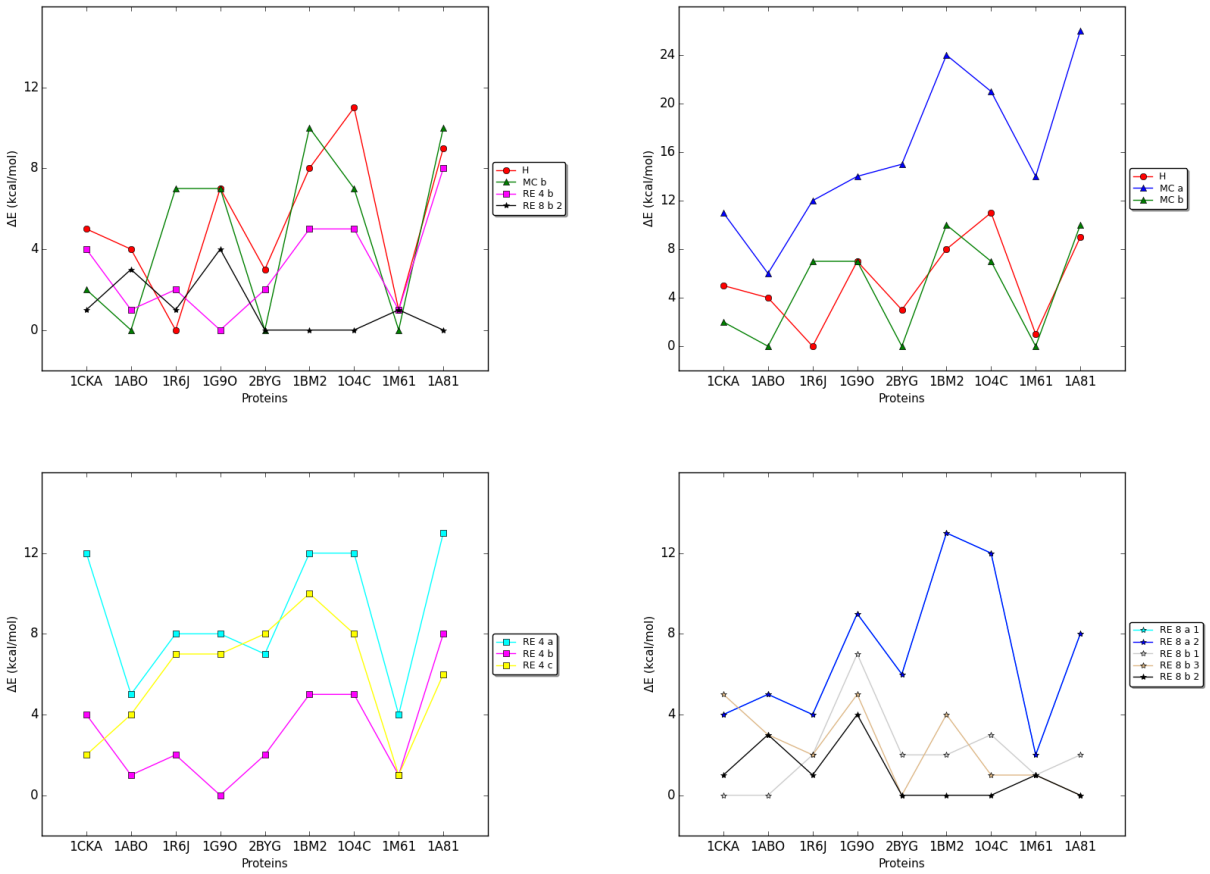


Figure 3.11 – Les différences entre les meilleures énergie par groupe de protocoles

Distribution des énergies en fonction des températures Regardons plus en détail le comportement du programme pour l'algorithme Replica Exchange. Notre implémentation de cette algorithme consiste à modifier la température de certains marcheurs à certains moments voir ???. Pour examiner la trajectoire à une température donnée t (c'est à dire le graphe dans l'espace les séquences/conformations selon les pas du marcheur lorsqu'ils sont à la température t), nous découpons les trajectoires des marcheurs selon la température. Puis nous collons les segments de trajectoires de même température en respectant l'ordre des pas. Comme les changements de températures se font de façon synchrone , id est c'est un échange entre deux marcheurs, nous obtenons autant de trajectoire selon la température qu'il y a de marcheurs et ces nouvelles trajectoires sont de même longueur que les trajectoires obtenues par proteus. La figure 3.12 représente la distribution en énergie des trajectoires selon la température sur le test utilisant le protocole RE8b1 sur la protéine 1A81. Nous observons une courbe en cloche pour chaque température, retrouvant ainsi l'allure d'une distribution de Boltzman. L'espace de recouvrement entre deux courbes consécutives,

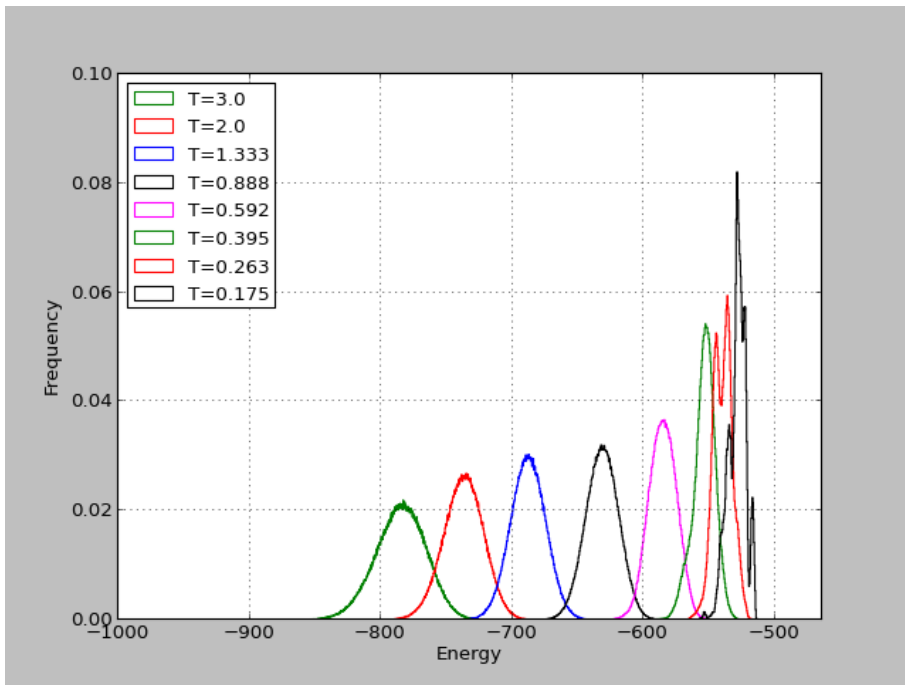


Figure 3.12 – Distribution des énergies selon la température (1A81 protocole RE8b1).

représente la partie de la distribution dans laquelle les échanges de température vont être se concentrer, parce que cette zone recouvre les situations où la température peut augmenter sans dégradation de l'énergie. En effet le critère de Metropolis-Hastings peut accepter un réchauffement de marcheur (respectivement un refroidissement) si son énergie diminue (respectivement augmente), mais uniquement avec une probabilité qui décroît exponentiellement en fonction de la différence d'énergie. Le graphique nous confirme que le choix À l'inverse si les recouvrements des distributions consécutives est trop important le marcheur peut difficilement s'éloigner de la plage d'énergie d'une température. Le graphique nous confirme que le choix d'une plage de température entre 3.0 et 0.175 pour les protocoles huit marcheurs rend possible les échanges de températures et permet également l'exploration d'une vaste zone d'énergie.

Trajectoires dans l'ensemble des températures Un critère de performance souvent utilisé est la proportion de changements de températures effectivement acceptés. Pour examiner ces changements nous représentons la trajectoire dans l'espace des températures pour quatre tests sur la protéine 1A81. Il s'agit des tests effectués avec deux protocoles quatre marcheurs RE4a et RE4b et deux protocoles huit marcheurs RE8a2 et REb1, voir figure 3.13. Les deux graphiques quatre marcheurs représentent seulement la moitié des trajectoires de 1,5 millions de pas , tandis que les graphiques huit marcheurs représentent

3.2. Résultats

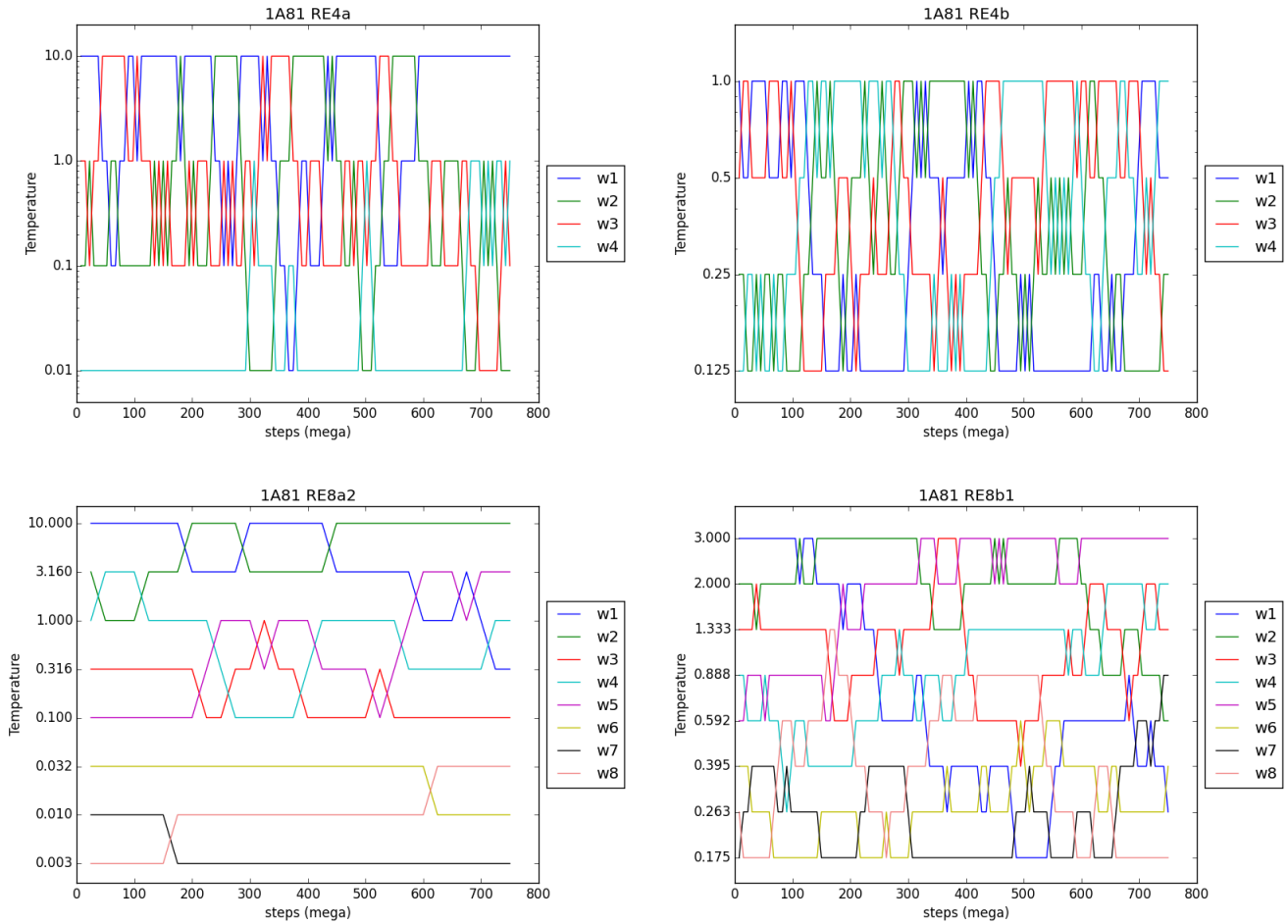


Figure 3.13 – Variation de la température pendant la trajectoire de chaque marcheur (cas exemple de protocoles).

la totalité de trajectoires de 750 millions de pas. Comme prévu le protocole RE4a , qui possède des températures plus écartées , brasse assez mal les températures. En particulier, le marcheur w4 ne quitte presque pas la température la plus froide, et ce malgré une période de swap assez faible et un nombre d'échange assez important. On voit que pour RE4b, protocole avec les températures plus proches , la répartition des échanges est nettement plus uniforme. Le fait de double le nombre de température pour le même intervalle que RE4a ne suffit pas à résoudre le problème et les trois marcheurs les plus froids en début de trajectoire pour le RE8a2 restent froids. Les bons résultats obtenus pour RE4b sont confirmés pour RE8b1 qui utilise également des températures proches.

3.2.4 comparaison sur un espace réduit

Séquence native

Protéine	GMEC	H-	MC0	MC4-
1A81	-585.1365	0	-0.2547	0
1ABO	-320.1798	0	0	0
1BM2	-553.5532	0	-0.0564	-0.0121
1CKA	-319.2787	0	0	0
1G9O	-481.1175	0	-0.1394	0
1M61	-555.9140	0	0	0
1O4C	-591.2115	0	0	-0.1250
1R6J	-454.9340	0	0	0
2BYG	-507.0165	0	0	0

Table 3.13 – L’énergie du GMEC et la différence avec les autres protocoles. Tous les résidus inactifs ()

Une seule position active

Position	GMEC	MC4-
14	-584.4693	-0.0405
39	-584.7378	-0.0111
55	-584.0477	-0.0012
60	-583.7763	-0.0140
66	-592.3835	-0.0347
70	-583.8950	-0.0348
71	-588.5916	-0.0247
76	-583.3815	-0.0248
79	-582.8485	-0.0406
86	-584.1412	-0.0248
101	-583.8406	-0.0248
105	-583.0197	-0.0248
107	-582.2241	-0.0248

Table 3.14 – Liste des échecs pour 1A81

Cinq positions actives

Dix positions actives

Dix positions actives, mutations

Vingt et trente positions actives

3.2.5 Les temps de calculs

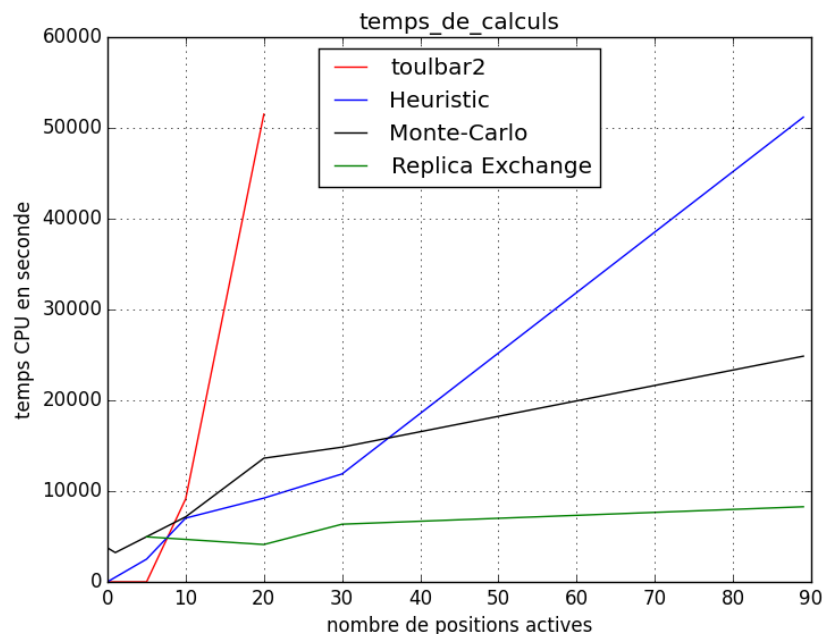


Figure 3.14 – Temps d’occupation du processeur selon le nombre de positions actives.

3.2.6 Etude au voisinage de GMECs

Position	GMEC	MC4-
2	-553.3134	-0.0040
3	-553.5532	-0.0121
5	-553.0932	-0.0179
6	-553.5532	-0.0121
8	-556.1917	-0.0148
10	-551.4990	-0.0149
11	-551.8859	-0.0149
12	-550.8152	-0.0148
13	-553.4829	-0.0451
14	-553.5532	-0.0121
15	-553.5532	-0.0121
17	-553.5532	-0.0121
18	-553.0880	-0.0121
19	-553.5532	-0.0270
20	-553.0003	-0.0121
21	-553.5532	-0.0121
22	-553.1769	-0.0121
29	-553.5532	-0.0121
34	-553.5532	-0.0270
36	-555.3358	-0.0317
37	-553.5532	-0.0121
41	-553.5076	-0.0121
46	-552.9056	-0.0149
49	-553.5532	-0.0121
51	-553.5532	-0.0179
55	-551.8384	-0.0121
56	-553.5532	-0.0121
57	-561.0695	-0.0121
58	-553.5532	-0.0121
62	-553.5532	-0.0121
65	-553.5532	-0.0121
66	-551.2026	-0.0179
68	-552.6182	-0.0148
70	-553.5532	-0.0121
72	-552.2724	-0.0121
73	-553.5532	-0.0121
75	-553.5532	-0.0179
77	-553.0234	-0.0466
80	-553.5532	-0.0121
81	-553.5532	-0.0121
82	-548.0641	-0.0121
83	-553.5532	-0.0121
85	-550.1884	-0.0122
86	-552.7375	-0.0148
87	-550.6139	-0.0121
90	-552.8601	-0.0009
91	-553.5532	-0.0121
92	-553.5532	-0.0121
93	-553.2772	-0.0148
94	-553.3207	-0.0251

Position	GMEC	MC4-
17	-316.1693	-0.0109

Table 3.16 – Liste des échecs pour 1CKA

Position	GMEC	MC4
58	-561.9469	-0.0138

Table 3.17 – Liste des échecs pour 1M61

Position	GMEC	MC4-
1	-591.2115	-0.1380
2	-591.2115	-0.1250
3	-591.2115	-0.1250
4	-590.7216	-0.0319
5	-590.5458	-0.1071
6	-591.2115	-0.1521
7	-590.7923	-0.1429
8	-591.2115	-0.1250
9	-591.2115	-0.1728
10	-591.2115	-0.2572
11	-589.9443	-0.2489
12	-591.1022	-0.1137
13	-589.9867	-0.0535
14	-591.2115	-0.1250
15	-589.4899	-0.0436
16	-591.2115	-0.1521
17	-590.4460	-0.0557
18	-589.0053	-0.1366
19	-590.7580	-0.0348
20	-591.2115	-0.1250
21	-591.2115	-0.1600
22	-591.2115	-0.1250
23	-590.5249	-0.1530
24	-590.7262	-0.0630
25	-591.2115	-0.1250
26	-591.2115	-0.1250
27	-590.8058	-0.1194
28	-591.2115	-0.1250
29	-591.2115	-0.1571
30	-590.5207	-0.0221
31	-590.5507	-0.0530
32	-591.2115	-0.1571
33	-591.2115	-0.1234
34	-590.7486	-0.1258
35	-591.2115	-0.0378
36	-589.1510	-0.0974
37	-591.0133	-0.0941
38	-589.2126	-0.2743
39	-589.0387	-0.1890
40	-590.8793	-0.0883
41	-589.4209	-0.0409
42	-591.2115	-0.1250
43	-587.9420	-0.1315
44	-589.8470	-0.0595
45	-591.2115	-0.1712
46	-588.8346	-0.2668
47	-589.9117	-0.2773
48	-588.6520	-0.2625
49	-591.2115	-0.2120
50	-590.6561	-0.0807

3.2. Résultats

Position	GMEC	MC4-
4	-453.4484	-0.0155
20	-452.6464	-0.0114
32	-454.9340	-0.0092
68	-454.4856	-0.0060
73	-454.7809	-0.0155
77	-454.1344	-0.0155
79	-453.4729	-0.0155

Table 3.19 – Liste des échecs pour 1R6J

Position	GMEC	MC4-
1	-505.2910	-0.0132
3	-506.7960	-0.0254
4	-505.5800	-0.0023
5	-506.8732	-0.0948
49	-505.5183	-0.0135
59	-507.0165	-0.0100
85	-506.6217	-0.0101
88	-505.2286	-0.0097
95	-506.3195	-0.0131

Table 3.20 – Liste des échecs pour 2BYG

Chapitre 3. Comparaisons d’algorithmes

Protéine	GMEC	H	MC4	RE3
1A81 1	-579.3989	0	0	
1A81 2	-575.2254	0	0	
1A81 3	-582.7452	0	0	
1A81 4	-569.9383	0	-5.3443	0
1A81 5	-591.8143	0	0	
1ABO 1	-315.4497	0	0	
1ABO 2	-316.6637	0	0	
1ABO 3	-307.4824	0	0	
1ABO 4	-313.7710	0	0	
1ABO 5	-313.5695	0	0	
1BM2 1	-548.2341	0	0	
1BM2 2	-554.8135	0	0	
1BM2 3	-557.8629	0	0	
1BM2 4	-544.9791	0	0	
1BM2 5	-550.2956	0	-0.0121	
1CKA 1	-315.0859	0	0	
1CKA 2	-309.7692	0	0	
1CKA 3	-317.3820	0	0	
1CKA 4	-314.8550	0	0	
1CKA 5	-312.0405	-0.0001	-0.0001	
1G9O 1	-469.9540	0	0	
1G9O 2	-476.4094	0	0	
1G9O 3	-479.7190	0	0	
1G9O 4	-478.9513	0	0	
1G9O 5	-480.7260	0	0	
1M61 1	-557.6647	0	0	
1M61 2	-546.9587	0	0	
1M61 3	-553.0731	0	0	
1M61 4	-555.0885	0	0	
1M61 5	-554.6356	0	0	
1O4C 1	-584.4267	0	-0.0655	
1O4C 2	-584.8989	0	-0.1437	
1O4C 3	-588.4971	0	-0.1164	
1O4C 4	-587.7129	0	-0.1400	
1O4C 5	-587.6514	0	-0.1168	
1R6J 1	-444.5018	0	0	
1R6J 2	-449.3043	0	-0.9421	0
1R6J 3	-453.1139	0	0	
1R6J 4	-453.1139	0	0	
1R6J 5	-454.9340	0	0	
2BYG 1	-500.7946	0	-0.0150	
2BYG 2	-506.2319	0	0	
2BYG 3	-506.8744	0	-0.0131	
2BYG 4	-504.5135	0	0	
2BYG 5	-506.0052	0	0	

3.2. Résultats

Test	GMEC	toulbar2	H	MC	RE
1A81 1	yes	-583.9354	0.	0.	
1A81 2	yes	-581.7802	0.	0.	
1A81 3	yes	-587.4392	-0.0001	-0.1595	
1A81 4	yes	-589.1322	0.	-0.0317	
1A81 5	yes	-578.2558	0.	-0.0563	
1ABO 1	yes	-309.1670	-0.0675	-0.9054	
1ABO 2	yes	-308.8387	0.	0.	
1ABO 3	yes	-303.8520	0.	0.	
1ABO 4	yes	-310.0087	0.	-0.0128	
1ABO 5	yes	-301.6727	0.	0.	
1BM2 1	yes	-549.8638	0.	-0.0950.	
1BM2 2	yes	-541.5944	0.	0.	
1BM2 3	yes	-543.7434	0.	0.	
1BM2 4	yes	-549.0453	0.	0.	
1BM2 5	yes	-544.1447	0.	-0.1082	
1CKA 1	yes	-305.8477	0.	0.	
1CKA 2	yes	-309.9886	0.	0.	
1CKA 3	yes	-304.6618	0.	0.	
1CKA 4	yes	-302.4894	0.	0.	
1CKA 5	yes	-299.2329	-0.2859	-3.2525	0.
1G9O 1	yes	-466.6764	0.	0.	
1G9O 2	yes	-478.8797	0.	0.	
1G9O 3	yes	-477.2503	-0.1366	0.	
1G9O 4	yes	-470.6458	0.	0.	
1G9O 5	yes	-464.8659	0.	-3.9599	0.
1M61 1	yes	-550.0699	0.	-0.0776	
1M61 2	yes	-538.6026	-3.5105	-4.5062	0.3215
1M61 3	yes	-552.2673	0.	0.	
1M61 4	yes	-550.0553	0.	0.	
1M61 5	yes	-553.6559	0.	-0.0432	
1O4C 1	yes	-587.4665	0.	-0.1121	
1O4C 2	yes	-585.8545	0.	-0.1046	
1O4C 3	yes	-580.3505	0.	-0.1519	
1O4C 4	yes	-587.1548	0.	-0.1545	
1O4C 5	yes	-590.2650	0.	-0.1753	
1R6J 1	yes	-448.8351	0.	-2.4022	-0.3986
1R6J 2	yes	-448.4631	0.	-1.0398	
1R6J 3	yes	-450.3950	0.	-0.0106	
1R6J 4	yes	-451.7211	0.	0.	
1R6J 5	yes	-450.9943	0.	-0.0162	
2BYG 1	no	-5.7485	-505.6397	-0.0337	
2BYG 2	yes	-504.7389	0.	0.	
2BYG 3	yes	-504.3048	0.	-0.0833	
2BYG 4	yes	-504.3466	0.	-0.2149	
2BYG 5	yes	-491.6095	0.	0.	

Table 3.22 – Résultats 10 positions actives

Protéine	H mut nb	MC mut nb
1A81 1	0	0
1A81 2	0	0
1A81 3	0	2
1A81 4	0	0
1A81 5	0	0
1ABO 1	0	4
1ABO 2	0	0
1ABO 3	0	1
1ABO 4	2	2
1ABO 5	0	0
1BM2 1	0	2
1BM2 2	0	0
1BM2 3	0	0
1BM2 4	0	1
1BM2 5	0	2
1CKA 1	0	0
1CKA 2	0	1
1CKA 3	0	0
1CKA 4	0	0
1CKA 5	5	3
1G9O 1	0	0
1G9O 2	0	0
1G9O 3	0	0
1G9O 4	0	0
1G9O 5	0	3
1M61 1	0	2
1M61 2	3	7
1M61 3	0	0
1M61 4	0	0
1M61 5	0	0
1O4C 1	0	0
1O4C 2	0	0
1O4C 3	0	0
1O4C 4	0	0
1O4C 5	0	3
1R6J 1	0	3
1R6J 2	0	2
1R6J 3	0	0
1R6J 4	0	0
1R6J 5	0	0
2BYG 1	no	no
2BYG 2	0	0
2BYG 3	0	1
2BYG 4	1	3
2BYG 5	0	0

3.2. Résultats

Test	GMEC	toulbar2	H	MC	RE
1A81 1	yes	-566.9106	0.	-0.3275	-0.3851
1A81 2	yes	-564.6618	-0.1705	-2.4355	-1.0069
1A81 3	yes	-572.7774	0.	-0.4640	-0.6186
1A81 4	yes	-572.9780	-0.3878	-0.5748	-0.6991
1A81 5	yes	-572.7410	-0.0068	-0.5088	-0.1541
1ABO 1	yes	-299.6592	-0.1205	-1.1159	-0.2153
1ABO 2	no	-13.8563	-298.3854	0.	0.
1ABO 3	no	-1.2190	-298.3854	0.	0.
1ABO 4	no	-1.9940	-297.8545	-0.0076	0.
1ABO 5	no	-3.5418	-297.8009	-0.9483	-0.9483
1BM2 1	yes	-526.0936	0.	-0.0619	-0.1584
1BM2 2	no	-7.5304	-525.3588	-0.0725	-0.0143
1BM2 3	yes	-534.3861	-0.0229	-0.4762	-0.2897
1BM2 4	no	-0.1186	-526.8307	-2.5883	-0.0789
1BM2 5	yes	-535.3334	-0.2396	-0.3746	-0.3746
1CKA 1	yes	-295.8571	0.	0.	0.
1CKA 2	yes	-295.3571	0.	0.	0.
1CKA 3	yes	-293.8687	0.	0.	0.
1CKA 4	no	-4.3122	-293.8687	0.	0.
1CKA 5	no	-4.2849	-293.4203	0.	0.
1G9O 1	no	-2.0574	-451.4604	-1.2525	-1.2525
1G9O 2	no	-3.2106	-453.2474	-0.2177	-0.1915
1G9O 3	no	-1.9008	-453.7856	-0.4417	-0.1019
1G9O 4	no	-0.5030	-456.7331	-0.3855	-0.1455
1G9O 5	no	-0.4298	-456.9981	-0.1495	-0.5114
1M61 1	yes	-528.0700	0.	0.	0.
1M61 2	yes	-528.7653	0.	0.	0.
1M61 3	yes	-530.0684	0.	0.	0.
1M61 4	yes	-534.5248	0.	0.	0.
1M61 5	yes	-548.0096	0.	-0.2521	-0.1345
1O4C 1	no	-574.0047	-0.3465	-0.0690	-0.0587
1O4C 2	no	-6.4214	-574.8584	-0.1963	-0.3175
1O4C 3	yes	-573.6314	0.	-0.3461	-0.0997
1O4C 4	yes	-575.8667	0.	-0.3640	-0.1382
1O4C 5	no	-573.3479	0.	-0.1131	-0.2206
1R6J 1	yes	-440.7417	0.	-0.2604	-0.2002
1R6J 2	yes	-437.2537	0.	-0.0071	-0.0183
1R6J 3	yes	-439.4335	0.	-0.0537	-0.0732
1R6J 4	yes	-439.5988	0.	-0.0639	-0.0601
1R6J 5	yes	-438.0222	0.	-0.0735	-0.0244
2BYG 1	yes	-496.2991	0.	-3.1878	-0.0257
2BYG 2	yes	-494.8723	0.	-0.0524	-0.0831
2BYG 3	yes	-494.4390	0.	-1.3564	-0.0826
2BYG 4	yes	-495.9213	0.	-0.1968	-0.6022
2BYG 5	no	-1.8604	-497.5123	-0.0933	-0.0386

Table 3.24 – Résultats 20 positions actives

Chapitre 3. Comparaisons d’algorithmes

Protéine	GMEC	toulbar2	H	MC	RE
1A81 1	no	-1.2074	-562.9572	-0.6353	
1A81 2	no	-2.5520	-570.2620	-0.0578	
1A81 3	no	-43.5263	-562.9572	-2.4996	-1.2025
1A81 4	no	-5.1300	-559.6145	-0.0305	
1A81 5	no	-3.2417	-553.1077	-1.9586	-0.5791
1ABO 1	no	-44.5504	-296.5680	0.	
1ABO 2	no	-12.7303	-294.8500	0.	
1ABO 3	no	-9.3870	-295.2689	-0.2630	
1ABO 4	no	-10.7691	-296.5680	0.	
1ABO 5	no	-4.3907	-296.5680	0.	
1BM2 1	no	-22.5876	-556.1168	-1.7290	-1.6013
1BM2 2	no	-22.1386	-556.7539	-1.9856	-1.5876
1BM2 3	no	-22.5410	-556.1168	-1.9990	-1.1541
1BM2 4	no	-15.2639	-556.8507	-2.2127	-2.3854
1BM2 5	no	-15.9890	-556.3240	-2.83542	-1.1937
1CKA 1	no	-6.2700	-293.4203	0.	
1CKA 2	no	-2.0995	-293.4203	0.	
1CKA 3	no	-47.0217	-291.9243	0.	
1CKA 4	no	-44.0830	-293.4203	0.	
1CKA 5	no	-8.8608	-293.2709	0.	
1G9O 1	no	-2.0816	-449.0890	-1.5942	0.
1G9O 2	no	-0.3270	-452.6676	-0.3126	
1G9O 3	no	-17.7150	-450.0341	-1.5667	-1.5667
1G9O 4	no	-2.9758	-453.9682	-1.4284	-1.6202
1G9O 5	no	-445.8910	-1.6890	-7.6985	-2.3857
1M61 1	no	-14.4935	-0.0097	-523.9321	0.
1M61 2	no	-5.0899	-531.3717	-1.8749	-0.0083
1M61 3	no	-3.5795	-527.2659	-0.0154	
1M61 4	no	-16.1511	-530.2666	0.	
1M61 5	no	-23.0927	-522.5696	0.	
1O4C 1	no	-14.9064	-571.4882	-0.3435	
1O4C 2	no	-58.1558	-570.1458	-0.0795	
1O4C 3	no	-9.9221	-569.9777	-0.1789	
1O4C 4	no	-5.7790	-568.9839	-0.0423	
1O4C 5	no	-9.9221	-569.9777	-0.1789	
1R6J 1	yes	-435.4258	0.0	-0.0246	
1R6J 2	no	-14.9800	-435.0087	-0.0957	
1R6J 3	no	-439.8187	-439.8187	-0.0440	
1R6J 4	no	-435.0087	-0.0	-0.0957	
1R6J 5	no	-435.0970	-0.7036	-1.8823	-0.0781
2BYG 1	no	-17.9752	-492.6879	-0.1592	
2BYG 2	no	-0.3832	-492.3568	-0.1502	
2BYG 3	no	-0.1442	-492.6879	-0.1593	
2BYG 4	no	-492.6821	-0.0958	-0.0050	
2BYG 5	no	-0.5003	-492.1595	-0.6876	

3.2. Résultats

Protein	GMEC	H	MC	RE
1CKA 3	-304.6618	0	0	
1CKA 4	-302.4894	0	0	
1CKA 5	-299.2329	-0.2859	-3.2525	0
1G9O 3	-477.2503	-0.1366	0	
1G9O 4	-470.6458	0	0	
1G9O 5	-464.8659	0	-3.9599	0
1M61 1	-550.0699	0	-0.0776	
1M61 2	-538.6026	-3.5105	-4.5062	0.3215
1M61 5	-553.6559	0	-0.0432	

Protein	seq-rot nb	gmec+1	H rank	MC rank	seq nb	gmec+1	H mut nb	MC mut nb
1CKA 3	67669		1	1	227		0	0
1CKA 4	4649		1	1	498		0	0
1CKA 5	1388		78	?	77		0	2
1G9O 3	354559		23	1	63		1	0
1G9O 4	22639		1	1	381		0	0
1G9O 5	8658395		1	?	11		0	3
1M61 1	11199153		?	?	21		3	7
1M61 2	11199153		1	1	88		0	0
1M61 5	16417604		1	1	83		0	0

Chapitre 3. Comparaisons d'algorithmes

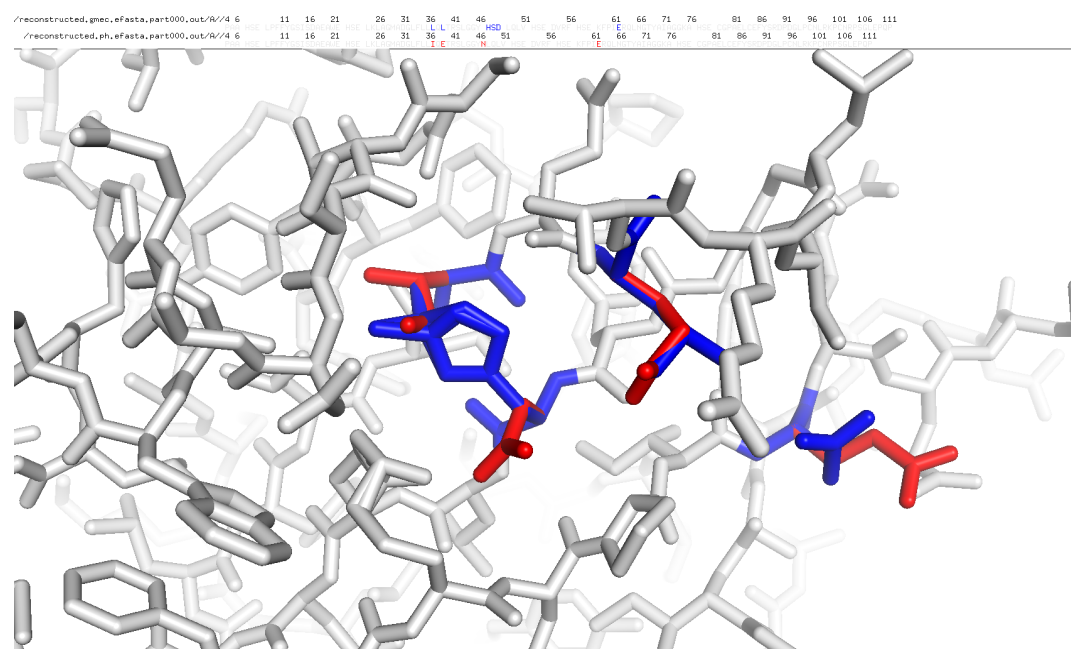


Figure 3.15 – test : 1M61 2, GMEC vs H

3.2. Résultats

```
/reconstructed,gmec.efasta.part000.out/R//4 6 11 16 21 26 31 36 41 46 51 56 61 66 71 76 81 86 91 96 101 106 111  
/reconstructed,RE,efasta.part000.out/R//4 6 11 16 21 26 31 36 41 46 51 56 61 66 71 76 81 86 91 96 101 106 111
```

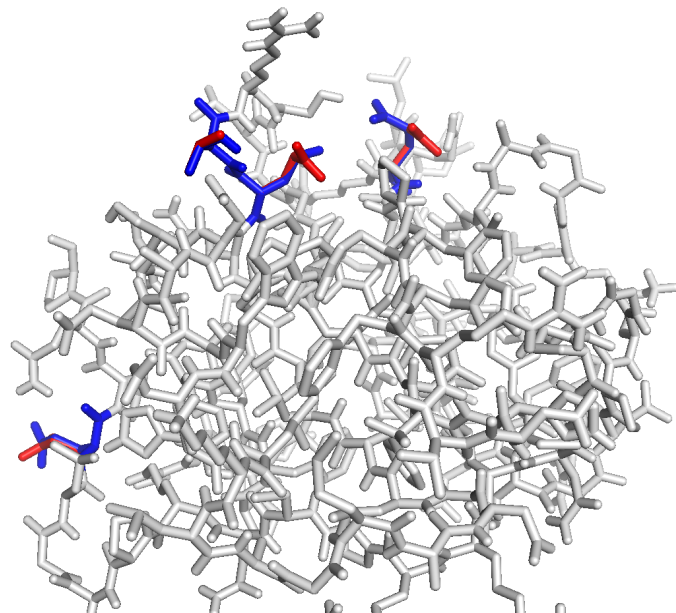


Figure 3.16 – test : 1M61 2, GMEC vs RE

```
/reconstructed,gmec.efasta.part000.out/R//9 11 16 21 26 31 36 41 46 51 56 61 66 71 76 81 86 91 96  
/reconstructed,ph,efasta.part000.out/R//9 11 16 21 26 31 36 41 46 51 56 61 66 71 76 81 86 91 96
```

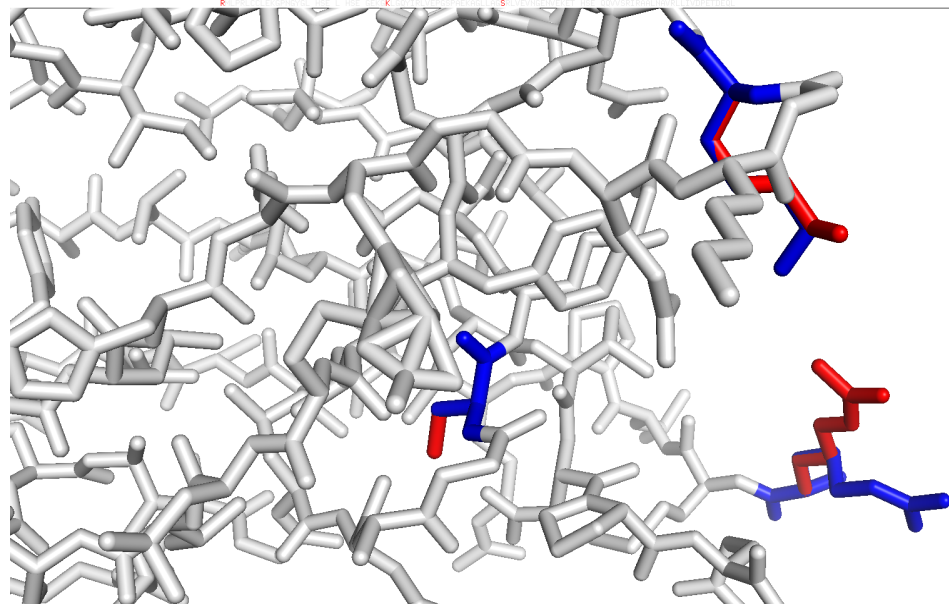


Figure 3.17 – test : 1G9O 3, GMEC vs H

Chapitre 3. Comparaisons d'algorithmes

```
/reconstructed,gmec,efasta,part000.out/A//9 11 16 21 26 31 36 41 46 51 56 61 66 71 76 81 86 91 96  
/reconstructed,MC,efasta,part000.out/A//9 11 16 21 26 31 36 41 46 51 56 61 66 71 76 81 86 91 96
```

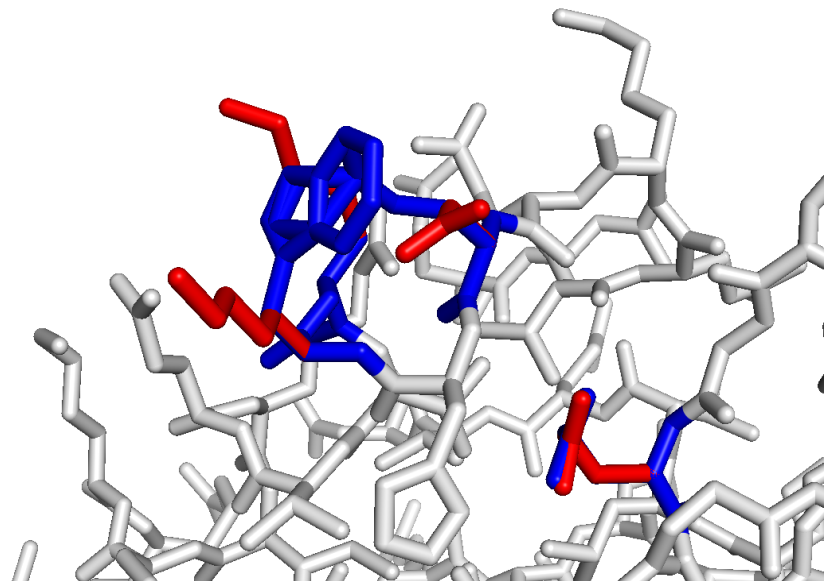


Figure 3.18 – test : 1G9O 5, GMEC vs MC

```
/reconstructed,gmec,efasta,part000.out/A//134 R 141 146 151 156 161 166 171 176 181 186  
/reconstructed,ph,efasta,part000.out/A//134 R 141 146 151 156 161 166 171 176 181 186
```

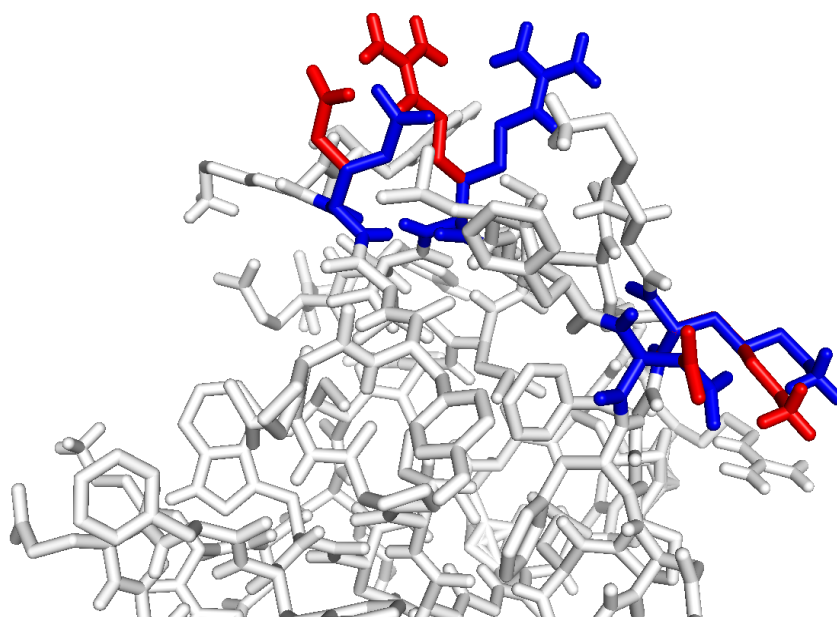


Figure 3.19 – test : 1CKA 5, GMEC vs H

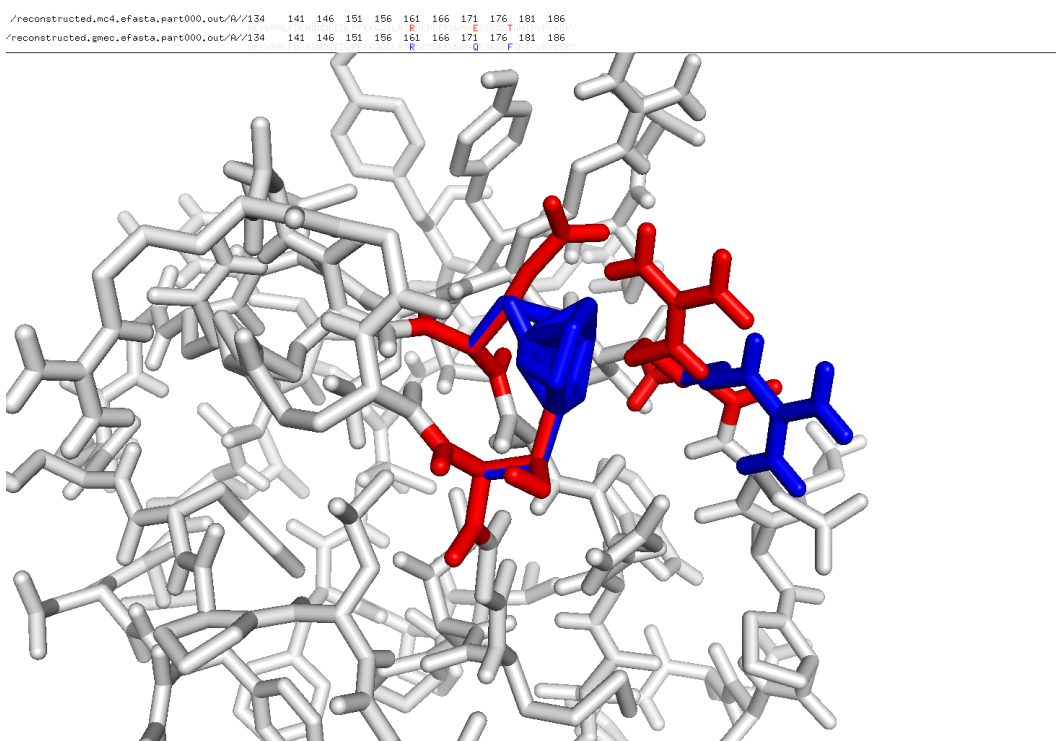


Figure 3.20 – test : 1CKA 5, GMEC vs MC

Chapitre 3. Comparaisons d'algorithmes

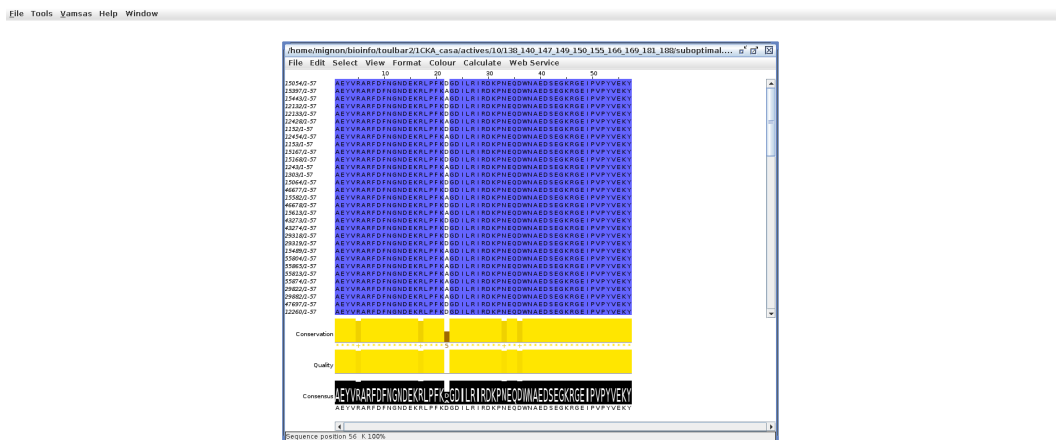


Figure 3.21 – Alignement du voisinnage : 1CKA 5

3.2.7 Résultats Superfamily

Protein	Match/seq size	Superfamily	Eval	superfamily success	Family	Eval	family success
1A81	no						
1ABO	51/58		4.4e-4	100%		2.8e-3	100%
1BM2	78/98		4.2e-5	100%		2.6e-3	100%
1CKA	40/57		1.1e-5	100%		3.4e-3	100%
1G9O	79/91		7.0e-7	100%		2.5e-3	100%
1M61	97/109		7.2e-7	100%		2.6e-4	100%
1O4C	95/104		2.1e-4	100%		4.5e-3	100%
1R6J	74/82		9.8e-6	100%		4.6e-3	100%
2BYG	59/97		1.4e-5	100%		7.1e-3	100%

3.2.8 Résultats Heuristic (protocoles longs)

Proteins	GMEC	H	H+	H++
1ABO 1	-309.1670	-0.0675	-0.0675	0
1CKA 5	-299.2329	-0.2859	-0.0640	0
1G9O 3	-477.2503	-0.1366	0	0
1M61 2	-538.6026	-3.5105	-2.1673	-0.0188

Table 3.25 – Résultats pour 3 fois (resp 9 fois) plus de cycles heuristiques protocole H+ (resp H++)

3.2.9 densité en séquences

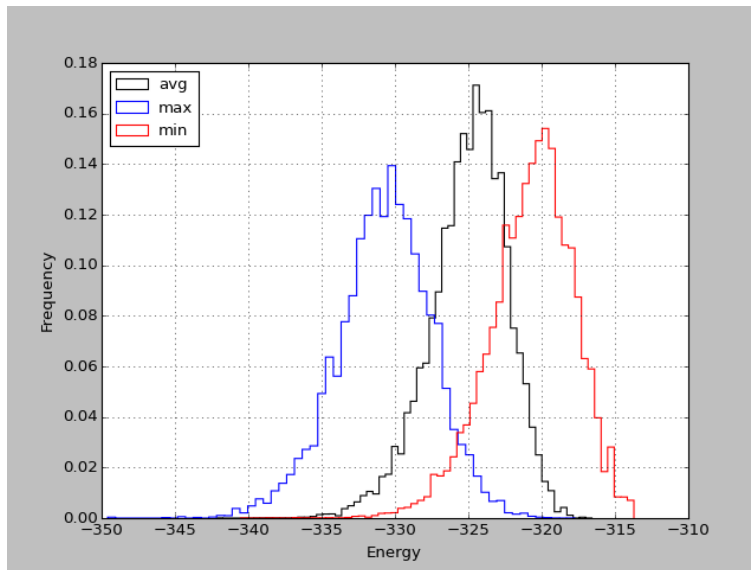


Figure 3.22 – .

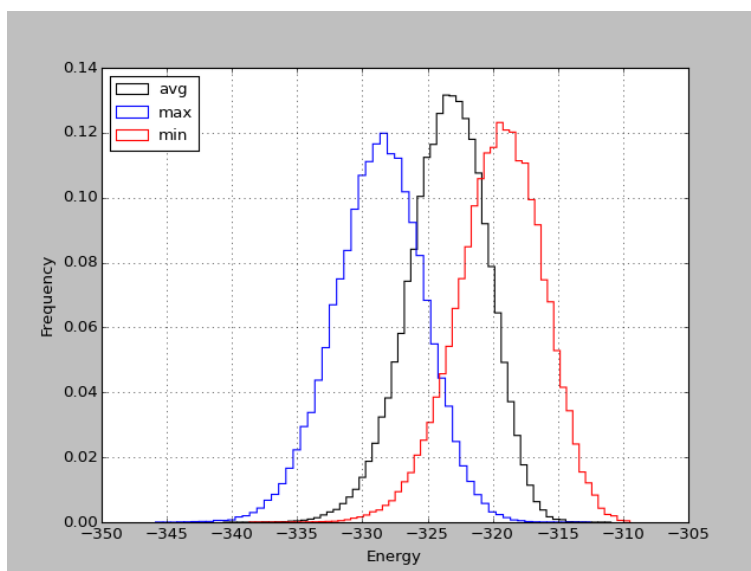


Figure 3.23 – .

Conclusion

XXX

Annexe 1 :Positions actives dans les tests

Conclusion

Nom	S_{Vois}	positions actives
1A81 1	10	10 13 16 84 86
1A81 2	10	20 21 24 27 116
1A81 3	10	35 38 56 105 107
1A81 4	10	44 47 52 65 67
1A81 5	10	82 84 86 87 90
1ABO 1	10	64 66 90 93 100
1ABO 2	10	72 74 80 104 111
1ABO 3	10	79 82 102 111 115
1ABO 4	10	83 86 104 105 106
1ABO 5	10	93 100 102 113 116
1BM2 1	10	101 106 140 141 146
1BM2 2	10	120 128 131 132 135
1BM2 3	10	58 61 127 128 129
1BM2 4	10	74 75 98 100 105
1BM2 5	10	85 87 95 110 128
1CKA 1	10	136 138 158 175 190
1CKA 2	10	149 166 169 171 181
1CKA 3	10	151 153 157 159 172
1CKA 4	10	164 170 172 184 187
1CKA 5	10	172 174 182 186 187
1G9O 1	10	10 13 54 57 92
1G9O 2	10	15 39 42 54 57
1G9O 3	10	24 26 28 39 42
1G9O 4	10	48 53 57 59 88
1G9O 5	10	75 78 79 86 88
1M61 1	10	12 20 23 24 27
1M61 2	10	17 20 24 37 49
1M61 3	10	27 33 51 100 102
1M61 4	10	5 8 10 11 36
1M61 5	10	59 71 84 87 94
1O4C 1	10	20 21 32 34 46
1O4C 2	10	2 71 79 81 82
1O4C 3	10	33 45 63 71 73
1O4C 4	10	43 45 63 71 85
1O4C 5	10	8 33 82 83 86
1R6J 1	10	194 237 239 270 272
1R6J 2	10	199 201 211 218 232
1R6J 3	10	213 218 227 232 238
1R6J 4	10	221 227 232 267 269
1R6J 5	10	241 254 258 267 269
2BYG 1	10	189 191 221 244 246
2BYG 2	10	205 224 239 245 248
2BYG 3	10	232 233 265 272 274
2BYG 4	10	238 240 243 276 278
2BYG 5	10	253 261 264 265 274

Table 26 – Les tests avec cinq positions actives

Nom	S_{Vois}	positions actives
1A81 1	10	13 15 39 41 53 86 89 90 93 103
1A81 2	10	39 41 53 55 64 66 76 89 92 103
1A81 3	10	51 53 64 66 68 74 76 82 88 92
1A81 4	10	76 82 87 88 90 91 92 95 97 99
1A81 5	10	9 10 11 16 41 51 53 66 88 89
1ABO 1	10	64 72 74 79 89 91 101 103 108 111
1ABO 2	10	66 68 80 82 88 90 100 102 104 111
1ABO 3	10	69 70 72 74 80 81 106 113 114 115
1ABO 4	10	71 78 83 84 94 99 101 104 105 106
1ABO 5	10	72 79 82 94 99 102 104 106 111 115
1BM2 1	10	119 120 121 122 123 125 131 134 135 140
1BM2 2	10	125 126 127 129 130 133 134 136 137 147
1BM2 3	10	83 99 101 106 108 135 140 141 146 148
1BM2 4	10	85 95 97 110 118 120 125 128 131 132
1BM2 5	10	99 101 106 139 140 141 142 143 144 146
1CKA 1	10	134 135 160 161 162 173 174 175 176 179
1CKA 2	10	137 139 143 151 153 157 159 172 182 186
1CKA 3	10	138 140 147 149 150 155 166 169 181 188
1CKA 4	10	140 141 153 154 155 157 174 175 184 186
1CKA 5	10	151 153 157 166 168 173 174 176 178 179
1G9O 1	10	10 11 13 14 15 16 53 54 57 92
1G9O 2	10	15 17 24 26 39 42 48 51 53 88
1G9O 3	10	26 28 39 42 48 53 57 59 88 90
1G9O 4	10	34 35 58 60 68 70 74 75 89 91
1G9O 5	10	71 73 74 77 80 81 82 83 84 85
1M61 1	10	10 12 20 23 24 27 35 49 102 104
1M61 2	10	17 20 21 24 37 39 40 47 49 58
1M61 3	10	34 36 46 48 59 61 71 83 84 87
1M61 4	10	5 6 11 36 46 48 61 69 83 84
1M61 5	10	59 61 70 71 75 77 83 86 87 92
1O4C 1	10	31 33 45 47 61 63 73 86 89 100
1O4C 2	10	50 51 52 53 63 72 73 77 85 89
1O4C 3	10	61 62 63 71 72 73 79 85 88 89
1O4C 4	10	73 74 75 76 77 89 92 94 96 101
1O4C 5	10	90 91 93 96 98 99 101 102 103 104
1R6J 1	10	193 194 195 197 199 218 232 236 267 269
1R6J 2	10	199 209 211 213 218 227 232 238 265 267
1R6J 3	10	201 204 205 209 211 218 241 258 265 267
1R6J 4	10	209 211 213 218 227 238 241 258 265 267
1R6J 5	10	238 240 241 242 246 257 258 261 265 267
2BYG 1	10	194 196 203 205 224 233 239 245 274 276
2BYG 2	10	203 205 207 224 227 233 239 243 245 276
2BYG 3	10	206 207 222 245 248 251 253 256 261 264 265
2BYG 4	10	221 222 245 248 251 253 256 261 264 265
2BYG 5	10	247 248 249 250 251 252 259 262 263 275

Table 27 – Les tests avec dix positions actives

Conclusion

Nom	S_{Vois}	positions actives
1A81 1	1	9 11 12 13 15 16 17 19 20 25 28 39 40 41 42 43 44 45 114 117
1A81 2	1	9 11 12 13 15 16 17 19 20 25 28 39 40 41 42 43 44 45 47 117
1A81 3	1	9 11 12 13 15 16 17 19 19 41 43 48 51 68 74 84 86 109 114 117
1A81 4	1	12 13 15 16 17 19 20 25 28 39 40 41 42 43 44 45 47 86 114 117
1A81 5	1	13 15 16 19 41 43 48 51 60 64 68 70 71 74 84 86 87 88 109 114 117
1ABO 1	1	64 66 67 68 82 86 87 88 89 90 91 101 102 102 103 103 108 111 113 116
1ABO 2	1	64 65 65 66 67 84 87 88 89 90 91 93 100 101 102 103 108 111 113 116
1ABO 3	1	65 66 67 87 88 89 90 91 93 94 95 100 101 102 103 106 108 111 113 116
1ABO 4	1	64 65 66 67 69 87 88 89 90 91 93 100 101 102 103 106 108 111 113 116
1ABO 5	1	66 67 68 82 86 87 88 89 90 91 93 100 101 102 103 106 108 111 113 116
1BM2 1	1	55 56 60 61 62 83 84 85 86 87 95 97 99 110 118 125 127 133 150 152
1BM2 2	1	55 56 60 61 62 83 84 85 86 87 95 97 99 110 118 125 127 128 129 152
1BM2 3	1	55 56 58 60 61 62 64 67 69 73 83 84 85 86 87 129 132 133 150 152
1BM2 4	1	55 56 60 61 62 69 83 84 85 86 87 95 97 99 110 129 132 133 150 152
1BM2 5	1	58 60 60 61 61 62 64 67 69 73 75 83 84 85 86 129 132 133 150 152
1CKA 1	1	134 135 136 137 138 139 150 151 160 161 162 163 164 170 171 172 173 179 189 190
1CKA 2	1	134 135 136 137 139 150 151 153 160 161 162 163 164 170 171 172 173 179 189 190
1CKA 3	1	134 136 137 139 150 151 157 158 160 161 162 163 164 170 171 172 173 179 189 190
1CKA 4	1	136 137 139 150 151 153 158 159 160 161 162 163 164 170 171 172 173 179 189 190
1CKA 5	1	137 139 150 151 153 158 160 161 162 163 164 170 171 172 173 174 175 179 189 190
1G90 1	1	9 10 11 13 14 15 31 34 38 54 57 58 60 68 90 91 92 94 95 96
1G90 2	1	9 11 13 14 15 16 31 34 38 54 57 58 60 68 90 91 92 94 95 96
1G90 3	1	9 11 13 14 15 31 34 38 54 55 57 58 60 68 90 91 92 94 95 96
1G90 4	1	9 11 13 15 16 17 54 57 58 59 60 61 68 89 90 91 92 94 95 96
1G90 5	1	10 11 13 15 16 17 54 57 58 60 61 68 89 90 90 91 92 94 95 96
1M61 1	1	34 35 36 37 38 39 42 46 47 48 49 50 61 63 69 71 77 78 81 82
1M61 2	1	35 36 37 38 39 42 46 47 48 49 50 61 63 69 71 77 78 81 82 83
1M61 3	1	38 39 42 46 47 48 49 50 61 63 69 71 77 78 81 82 83 84 85 87
1M61 4	1	42 46 47 48 49 50 61 63 69 71 77 78 81 82 83 84 85 87 88 98
1M61 5	1	5 7 50 61 63 69 71 77 78 81 82 83 84 85 87 88 98 103 104 109
1O4C 1	1	32 33 34 35 43 45 63 65 71 73 79 80 81 82 83 84 85 86 87 89
1O4C 2	1	3 4 5 7 8 9 11 17 31 32 33 34 35 43 45 63 65 71 73 79
1O4C 3	1	1 3 4 5 6 7 8 9 11 17 31 32 33 35 43 45 65 81 82 83
1O4C 4	1	1 2 3 4 5 6 7 8 9 11 12 13 14 17 19 35 65 81 82 83
1O4C 5	1	1 3 4 5 6 7 8 9 11 12 17 31 32 33 34 35 65 81 82 83
1R6J 1	1	193 194 195 197 214 215 217 218 233 235 236 237 239 240 241 242 247 269 270 273
1R6J 2	1	193 194 197 198 199 217 233 235 236 237 238 239 240 241 242 247 268 270 272 273
1R6J 3	1	193 195 197 217 233 235 236 239 240 241 242 244 245 247 268 269 270 270 272 273
1R6J 4	1	193 195 197 217 233 235 236 237 239 241 242 244 245 247 268 269 270 272 273 273
1R6J 5	1	193 194 197 198 199 233 236 237 239 240 241 247 268 268 269 270 270 272 273
2BYG 1	1	186 187 188 189 190 191 192 215 216 219 244 246 270 271 273 274 278 280 281 282
2BYG 2	1	186 187 188 189 190 215 216 219 221 223 240 243 270 271 273 274 278 280 281 282
2BYG 3	1	186 187 188 189 190 215 216 219 221 223 240 243 244 270 271 273 278 280 281 282
2BYG 4	1	186 187 188 189 190 215 216 219 221 223 240 243 244 270 274 276 278 280 281 282
2BYG 5	1	187 189 190 191 192 215 216 219 221 223 240 243 244 270 274 276 278 280 281 282

Table 28 – Les tests avec vingt positions actives

Nom	S_{Vois}	positions actives
1A81 1	1	9 11 12 13 15 16 17 19 20 25 26 27 28 29 36 38 39 40 41 42 43 48 51 68 74 84 86 109 114 117
1A81 2	1	9 10 11 12 13 15 16 17 19 20 25 28 39 41 43 48 51 68 74 83 84 86 87 88 90 91 93 109 114 117
1A81 3	1	9 11 12 13 15 16 17 19 20 25 27 28 36 38 39 40 41 42 43 48 51 68 74 84 86 109 114 117
1A81 4	1	9 10 11 12 13 15 16 17 19 20 25 28 36 39 40 41 42 43 44 45 48 51 68 74 84 86 109 114 117
1A81 5	1	9 10 11 12 13 15 16 17 19 20 25 28 39 40 41 42 43 44 45 47 48 51 52 68 74 84 86 109 114 117
1ABO 1	1	64 65 66 67 68 70 71 72 75 78 79 80 81 82 83 86 87 88 89 90 91 93 100 101 102 103 108 111 113 116
1ABO 2	1	64 65 66 67 68 72 75 78 80 81 82 83 84 86 87 88 89 90 91 93 94 100 101 102 103 104 108 111 113 116
1ABO 3	1	64 66 67 68 70 71 72 78 82 86 87 88 89 90 91 93 94 95 96 99 100 101 102 103 104 105 108 111 113 116
1ABO 4	1	64 65 66 67 70 71 72 68 82 86 87 88 89 90 91 93 94 95 96 99 100 101 102 103 104 105 108 111 113 116
1ABO 5	1	65 66 67 70 71 72 75 78 80 82 86 87 88 89 90 91 93 94 95 96 99 100 101 102 103 108 111 113 116
1BM2 1	1	55 56 58 60 61 62 83 84 85 86 87 95 97 99 110 118 119 120 121 122 125 127 128 129 130 131 132 133 150 152
1BM2 2	1	56 58 60 61 62 83 84 85 86 87 95 97 99 110 118 119 120 121 122 123 125 127 128 129 130 131 132 133 150 152
1BM2 3	1	58 60 61 62 83 84 85 86 87 95 97 99 108 110 118 120 121 122 123 125 127 128 129 132 133 134 135 150 152
1BM2 4	1	55 56 58 60 61 62 83 84 85 86 87 95 97 99 108 109 110 118 120 121 125 127 128 129 130 131 132 133 150 152
1BM2 5	1	56 58 60 61 62 67 83 84 85 86 87 95 97 99 110 111 112 113 115 118 125 127 128 129 130 131 132 133 150 152
1CKA 1	1	134 135 136 137 139 140 141 142 143 144 146 147 148 149 150 151 158 159 160 161 162 163 164 170 171 172 173 179 189 190
1CKA 2	1	134 135 136 137 139 143 144 146 147 148 149 150 151 158 159 160 161 162 163 164 170 171 172 173 179 186 187 188 189 190
1CKA 3	1	135 136 137 139 144 146 147 148 149 150 151 157 158 159 160 161 162 163 163 164 170 171 172 173 179 186 187 188 189 190
1CKA 4	1	136 137 139 140 141 142 143 144 146 147 148 151 158 159 160 161 162 163 164 170 171 172 173 179 184 186 187 188 189 190
1CKA 5	1	134 136 137 139 140 141 142 143 144 146 147 148 151 158 159 160 161 162 163 164 170 171 172 173 179 182 187 188 189 190
1G9O 1	1	9 10 11 13 15 24 31 34 38 40 41 42 43 46 48 49 50 51 54 57 58 60 68 89 90 91 92 94 95 96
1G9O 2	1	9 11 13 15 31 32 34 38 40 41 42 43 46 48 49 50 51 54 57 58 60 68 89 90 91 92 94 95 96
1G9O 3	1	9 10 11 13 15 31 32 34 38 40 41 42 43 46 48 49 50 51 54 57 58 60 68 89 90 91 92 94 95 96
1G9O 4	1	10 11 13 14 15 31 32 34 38 40 41 42 43 46 48 49 50 51 54 57 58 60 61 68 89 90 91 92 94 95 96
1G9O 5	1	10 11 13 14 15 31 32 40 41 42 43 46 48 49 50 51 54 57 58 60 61 62 68 87 89 90 91 92 94 95 96
1M61 1	1	12 14 15 20 34 35 36 37 38 39 42 46 47 48 49 50 61 63 69 71 77 78 81 82 83 84 85 87 88 98
1M61 2	1	6 7 8 10 11 12 14 15 20 21 34 35 36 37 38 39 42 46 47 48 49 50 61 63 69 71 77 78 81 82
1M61 3	1	5 7 35 36 37 38 39 42 46 47 48 49 50 61 63 69 71 77 78 81 82 83 84 85 87 88 98 103 104 109
1M61 4	1	7 8 10 11 12 14 15 20 34 35 36 37 38 39 42 46 47 48 49 50 61 63 69 71 77 78 81 82 83 84
1M61 5	1	8 10 11 12 14 15 20 34 35 36 37 38 39 42 46 47 48 49 50 61 63 69 71 77 78 81 82 83 84 85
1O4C 1	1	1 2 3 4 5 6 7 8 9 11 17 31 32 33 34 35 43 45 63 65 71 81 73 79 80 81 82 83 90 91 92 93 96
1O4C 2	1	1 3 4 5 7 8 9 11 17 31 32 33 34 35 43 45 63 65 71 73 79 80 81 82 83 90 91 92 93 96
1O4C 3	1	1 3 4 5 6 7 8 9 11 17 31 32 33 34 35 43 45 63 65 71 73 79 80 81 82 83 90 91 92 93 96
1O4C 4	1	1 3 4 5 7 8 9 11 17 31 32 33 34 35 43 45 63 65 71 73 79 80 81 82 83 84 91 92 93 96
1O4C 5	1	1 3 4 5 6 7 8 9 11 17 31 32 33 34 35 43 45 63 65 71 73 79 80 81 82 83 84 92 93 96
1R6J 1	1	193 194 195 197 198 199 217 218 219 220 221 222 223 224 225 226 227 228 229 233 235 236 237 239 247 268 269 270 272 273
1R6J 2	1	193 194 195 197 198 199 217 220 221 222 223 224 225 226 227 228 229 233 235 236 237 239 240 247 268 269 270 272 273
1R6J 3	1	193 194 195 197 198 199 208 217 220 221 222 223 224 225 226 227 228 229 230 233 235 236 237 239 247 268 269 270 272 273
1R6J 4	1	193 194 195 197 198 199 217 220 221 222 223 224 225 226 227 228 229 233 235 236 237 239 240 247 249 268 269 270 272 273
1R6J 5	1	194 195 197 198 199 217 220 221 222 223 224 225 226 227 228 229 233 235 236 237 239 240 247 249 268 269 270 272 273
2BYG 1	1	186 187 188 189 190 191 192 215 216 219 221 223 240 244 246 250 251 252 253 254 255 256 257 259 260 278 280 281 282
2BYG 2	1	186 187 188 189 190 191 192 215 216 219 221 223 240 244 246 251 252 253 254 255 256 257 259 260 278 278 280 281 282
2BYG 3	1	186 187 188 189 190 191 192 215 216 219 221 223 240 244 246 251 252 253 254 255 256 257 259 260 278 246 280 281 282
2BYG 4	1	186 187 188 189 190 191 192 215 216 219 221 223 240 244 245 246 251 252 253 254 255 256 257 259 260 278 278 281 282
2BYG 5	1	186 187 188 189 190 191 192 215 216 219 221 223 240 244 245 246 251 252 253 254 255 256 257 259 260 278 246 278 280 281 282

Table 29 – Les tests avec trente positions actives

Bibliographie

Kofke, D. A. Titre. *J. Chem. Phys.*, 117:6911, 2002.

cité pages 3 et 15

Kofke, D. A. Titre. *J. Chem. Phys.*, 120:10852, 2004a.

cité pages 3 et 15

Name3a, A., Name3b, B., and Name3c, C. Title3. *Journal3*, 30:300–310, 2000.

cité page 3

Kofke, D. A. Titre. *J. Chem. Phys.*, 121:1167, 2004b.

cité page 15

Traoré, S., Allouche, D., André, I., De Givry, S., Katsirelos, G., Schiex, T., and Barbe, S. A new framework for computational protein design through cost function network optimization. *Bioinformatics*, 27 (19):2129–2136, 2013.

cité page 16

J., G., K., K., R., H., and C., C. Assignment of homology to genome sequences using a library of hidden markov models that represent all proteins of known structure. *J Mol Biol.*, 313 (4):903–19, 2001.

cité page 17

R., H. and A., K. Hidden markov models for sequence analysis: Extension and analysis of the basic method. *CABIOS*, 12 (2):95–107, 1996.

cité page 17

S.R., E. Profile hidden markov models. *Bioinformatics*, 14 (9):755–63, 1998.

cité page 17

R.D., F., A., B., J., C., P., C., R.Y., E., S.R., E., A., H., K., H., L., H., J., M., E.L.L., S., and Tate J., P. M. The pfam protein families database. *Nucleic Acids Research*, Issue 42:D222–D230, 2014.

cité page 18

J., H. S. . H. Amino acid substitution matrices from protein blocks. *PNAS*, 89:10915–10919, 1992.

cité page 18

Bibliographie

Altschul S., M. W. M. E. . L. D., Gish W. Basic local alignment search tool. *J Mol Biol* 215, 215:403–10, year = 1990.

cité page 18

Launay G., W. S. S. T., Mendez R. Recognizing proteinprotein interfaces with empirical potentials and reduced amino acid alphabets. *BMC Bioinformatics*, 8:270–291, 2007.

cité page 22

Résum

Titre de la thèse

XXX

Mots-clés : motclé1, motclé2, motclé3

Abstract

Thesis title

XXX

Keywords: keyword1, keyword2, keyword3